

# Линейные подструктуры политопов, определяющие альфа-спирали

Талис А.Л., Кучериненко Я.В.

Институт элементоорганических соединений  
им. А.Н. Несмеянова РАН

Геологический ф-т, МГУ им.М.В.Ломоносова

## План доклада

1) Тетрагеликс и пентагеликс политопа  $\{3,3,5\}$

2) Не имеющие адекватного определения структурные особенности  $\alpha$ -спирали

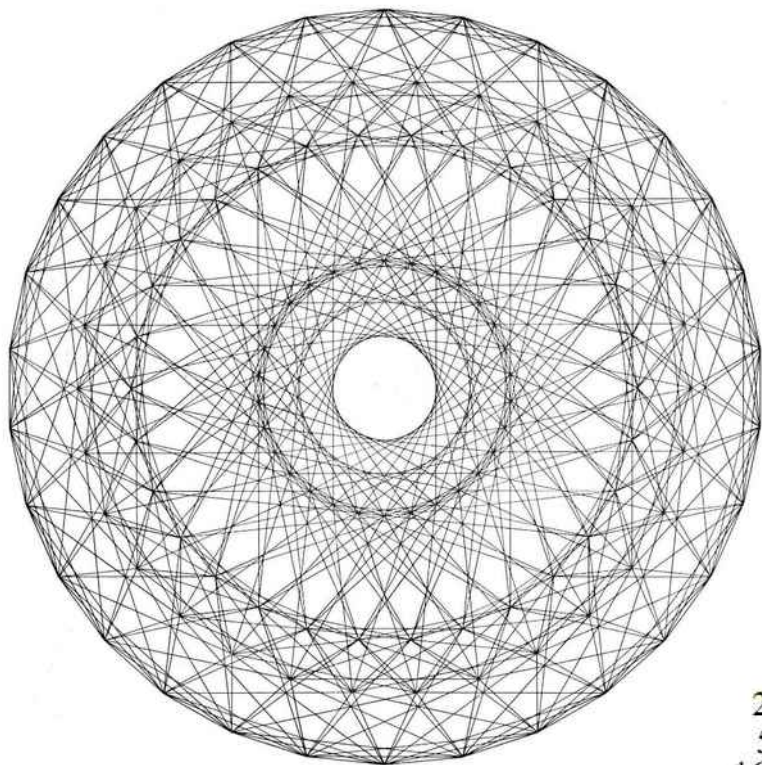
3) Тетракоординированный пентагеликс политопа  $240$ , спираль  $40/11$  и идеальный прототип одиночной  $\alpha$ -спирали.

4) Оси  $\alpha$ -спиралей в суперспиралях, определяемые семейством осей трубчатых политопов

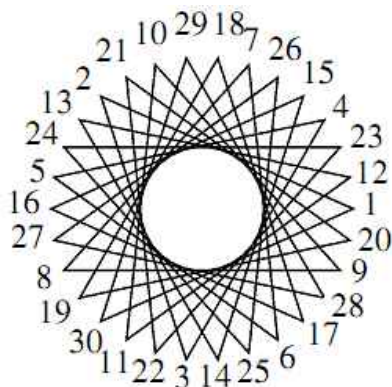
5) Тетраблок – 7-вершинное объединение тетраэдров, определяемое разбиениями политопа  $\{3,3,5\}$ ; спирали из тетраблоков в политопе  $\{3,3,5\}$

6) Возможная связь группы  $PSL(2,7)$  (изоморфной группе тетраблока),  $40/11=3.(63)$  и  $1+\sqrt{7}=3.646$ .

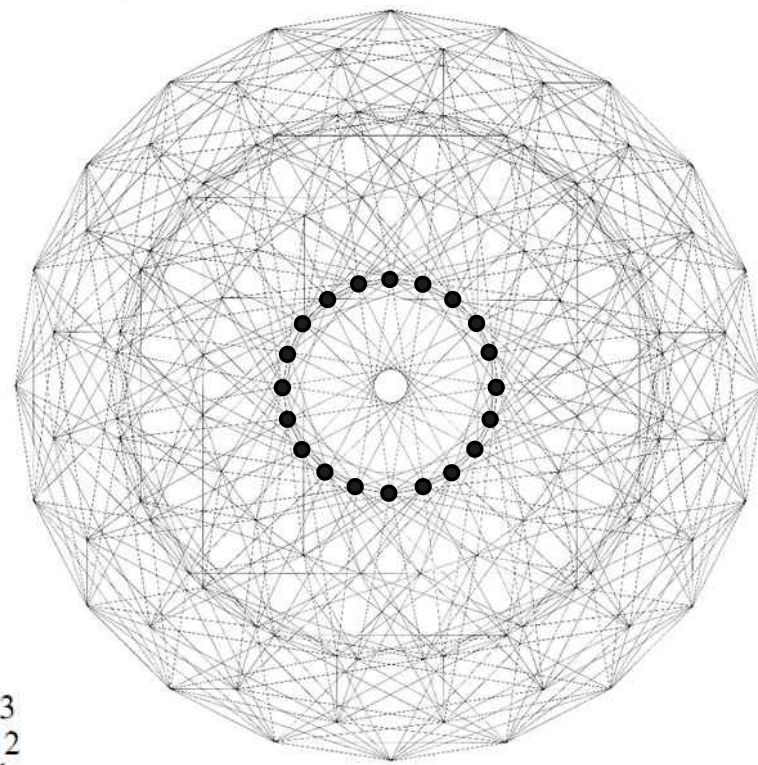
Oss, S. L. van (1899). Das fege1mässige Sechshundeftzell und seine Selbstdeckenden Bewegungen. Amsterdam: Müller



**30/11**



$$360^{\circ} : 30/11 = 132^{\circ}$$



**20/9**

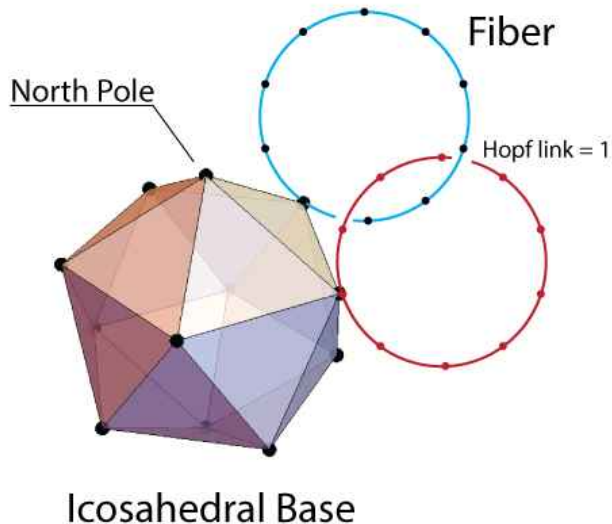
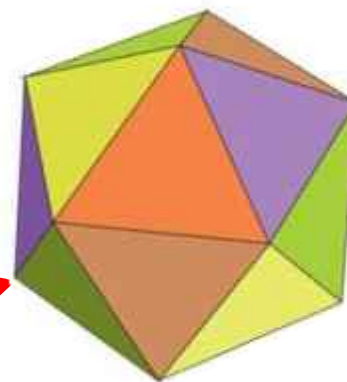
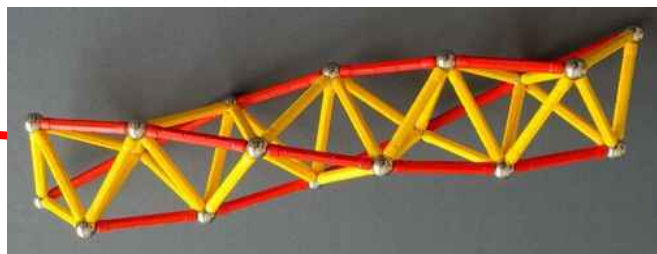
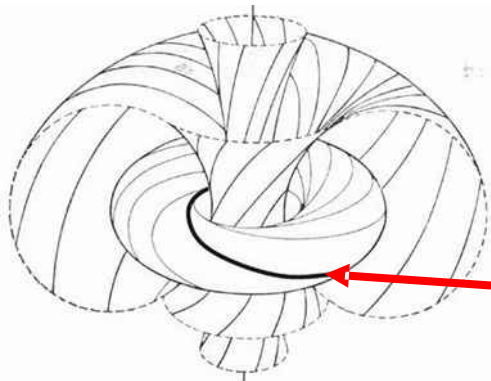
$$360^{\circ} : 20/9 = 162^{\circ}$$

Проекции политопа {3,3,5} на плоскость вдоль осей 30/11 и 20/9

# Тетрагеликс из дискретного расслоения Хопфа для политопа {3,3,5}

Расслоение Хопфа позволяет представить структуру “произведением” базы и слоя  $S^3 \rightarrow (\text{база}) S^2 (\text{слой } S^1)$ .

$$\{3,3,5\} \rightarrow \{3,5\}(\text{слой } \{10\}),$$



Все вершины икосаэдра  $\{3,5\}$ - базы расслоения Хопфа для политопа  $\{3,3,5\}$ , охватываются 4-мя (например, зелеными) непересекающимися треугольниками. Зеленому треугольнику базы соответствует объединение в тетрагеликс в 3-х соседних 10-вершинных цепей-слоев в расслоении Хопфа для политопа  $\{3,3,5\}$

The Discrete Hopf fibration of the 600-cell. The base space is an icosahedron, and the bers are non-intersecting decagons.

5

Y. Zhu et al. Chiral Gold Nanowires with Boerdijk–Coxeter–Bernal Structure // J. Am. Chem. Soc. 2014, 136, 12746–12752

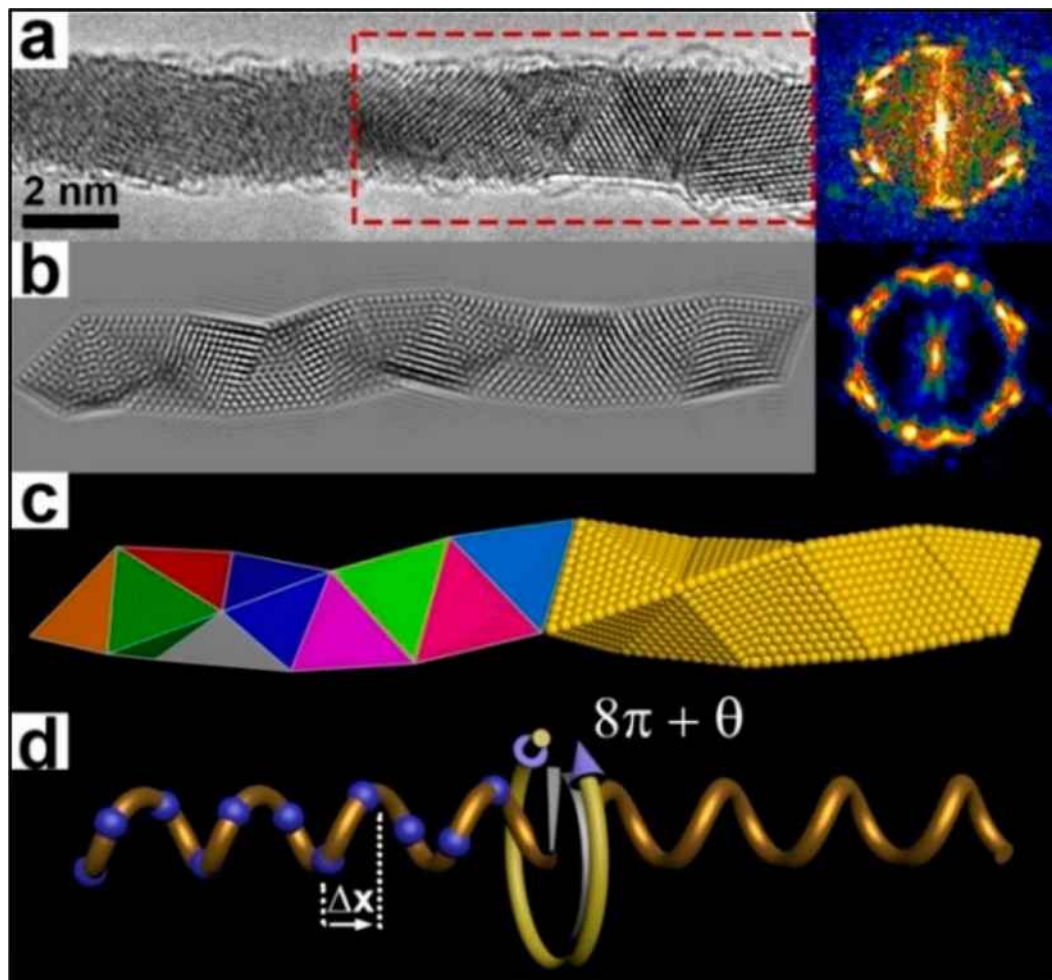
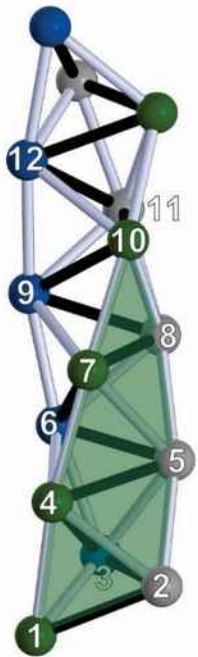
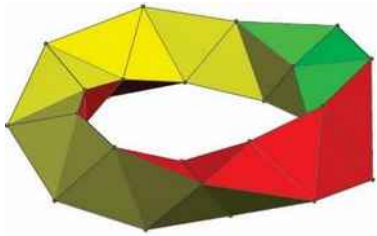
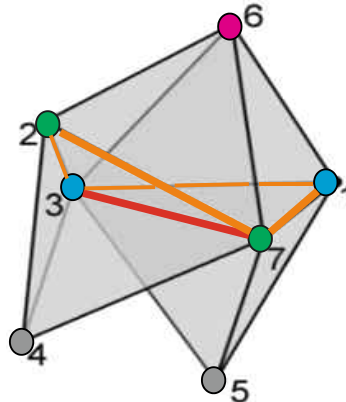


Figure 1. (a) Experimental and (b) simulated HRTEM image of a single BCB-structured Au NW ( $\Delta f = -35$  nm). The corresponding FFTs are shown in the right. (c) Topological (left) and atomic (right) models of a BCB tetrahelix. (d) Schematic illustration of the pseudoperiodicity in BCB tetrahelix, where the blue dots represent the mass centers of the tetrahedral units.

It means that a BCB helix is aperiodic, though a periodic approximant of **BCB helix (tetrahelix) can be extracted from the polytope {3,3,5}**.



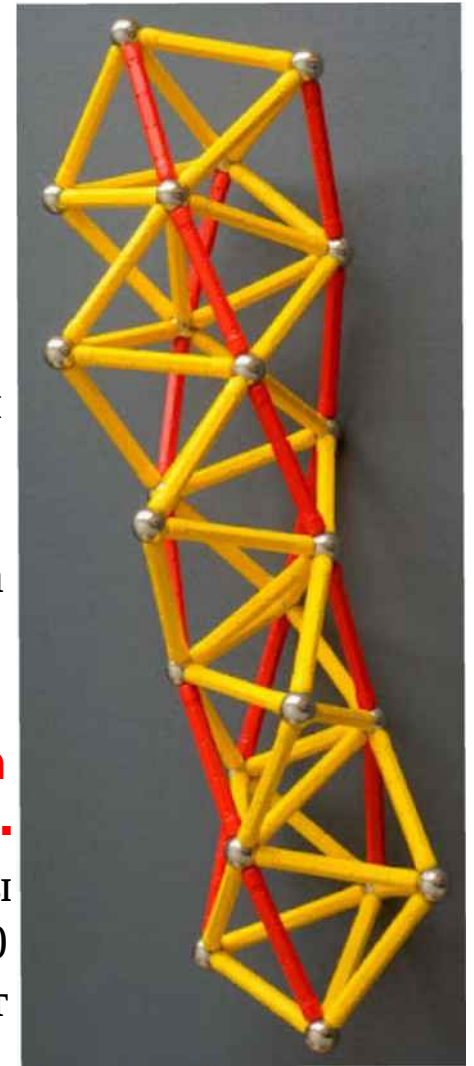
Развертка тетрагеликса в три ленты (красную, желтую и зеленую) из правильных треугольников.



В политопе 335 каждый треугольник - общее основание 2-х тетраэдров. Два соседних треугольника зеленой ленты определяют 4 тетраэдра у общего ребра.

**Вся лента - орбита треугольников оси 20/9.**

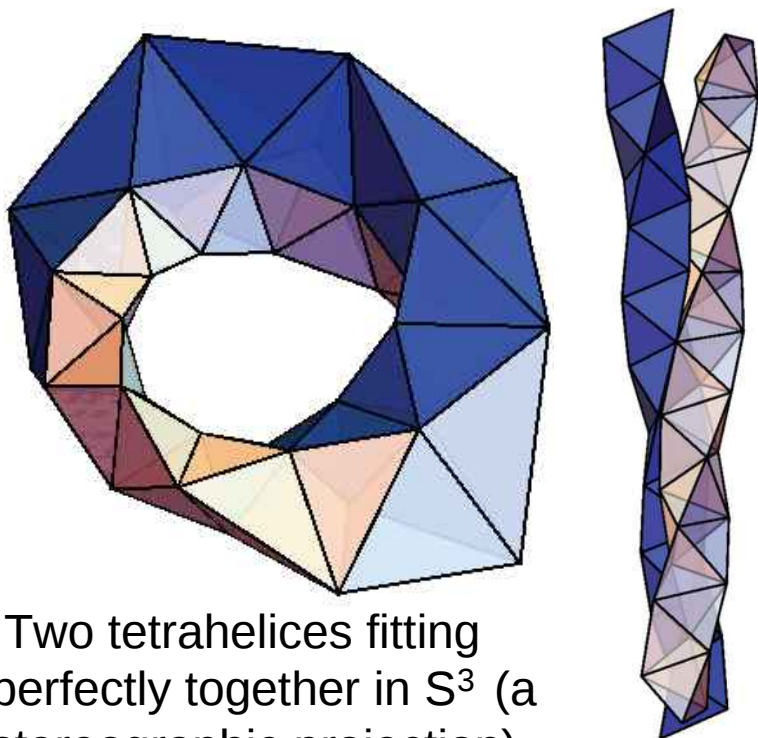
20 треугольников зеленой ленты определяют 40 тетраэдров, 40 вершин которых определяют пентагеликс.



В {3,3,5} пентагеликс - объединение по граням 10 пентагональных бипирамид .

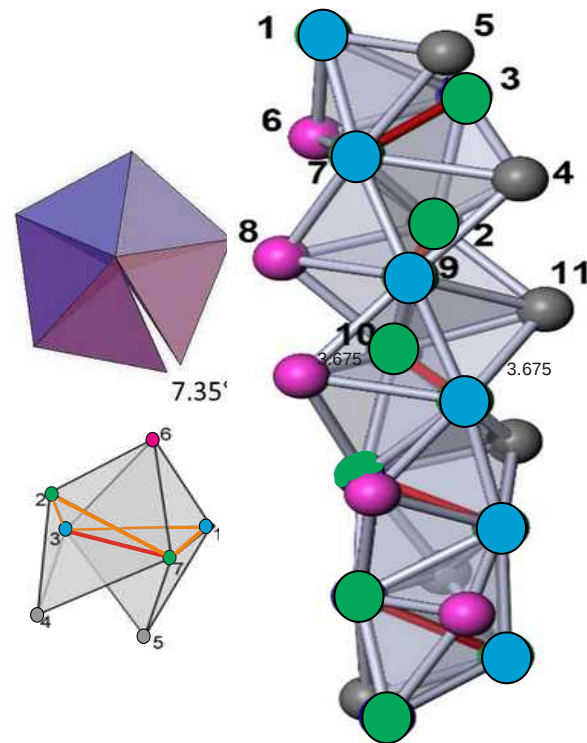
# Пентагеликс – объединение двух тетрагеликсов в политопе {3,3,5}

F. Seran, Jun Lu, N.Kotov, K. Sun, X. Mao  
Frustrated Self-Assembly of Non-Euclidean  
Crystals of Nanoparticles // arXiv:2010.03087v1  
[cond-mat.soft] 2020



Two tetrahelices fitting perfectly together in  $S^3$  (a stereographic projection).

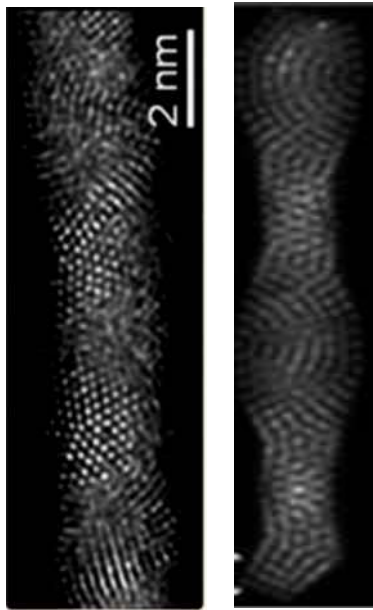
In 3D Euclidean space two tetrahelices cannot fit side-to-side



В политопе {3,3,5} синяя, зеленая, серая десятки – один тетрагеликс; синяя, зеленая, розовая – второй тетрагеликс. В  $E^3$  ребер между вершинами серой и розовой десятков нет.

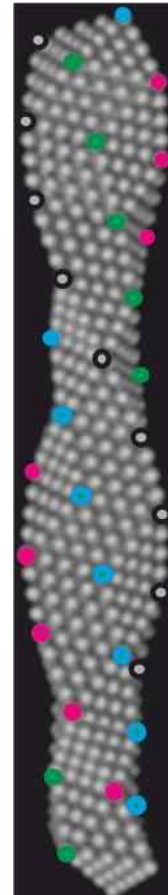
A. Talis, A. Everstov, V. Kraposhin. HELICAL SUBSTRUCTURES OF CLOSE-PACKED METALS DETERMINED BY A UNIVERSAL BUILDING UNIT (TETRABLOCK) // Metal Science and Heat Treatment, 2022, V. 64, N. 3 – 4, 183-188

J. Velazquez-Salazar et al. Experimental Evidence of Icosahedral and Decahedral Packing in One-Dimensional Nano structures // *AcsNano* 2011, V. 5, №8, 6272–6278.

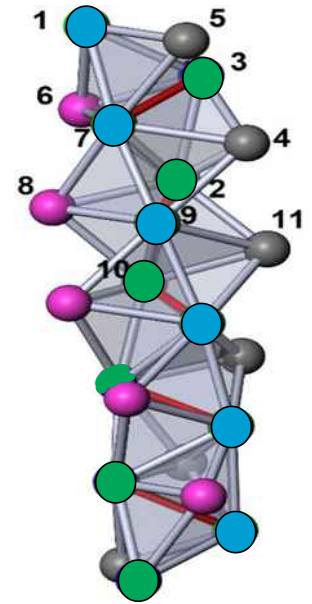
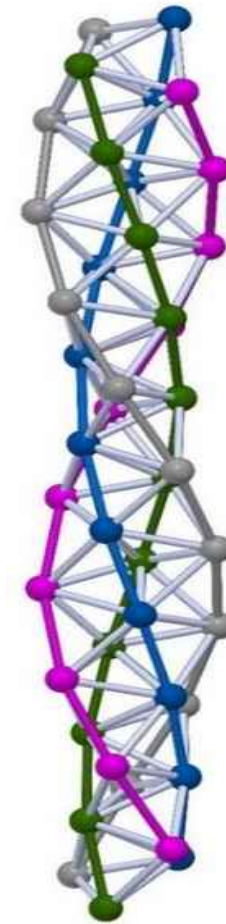


а

а) Экспериментальное HRTEM-изображение металлической нанопроволоки со структурой объединения двух тетрагеликсов



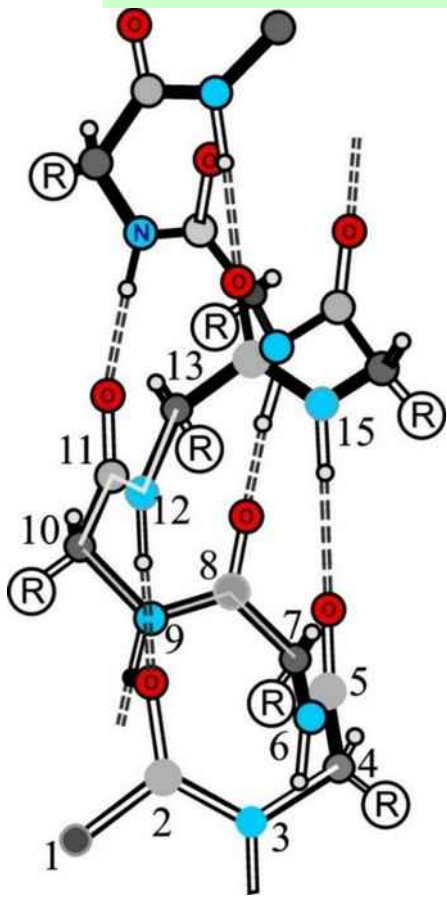
б



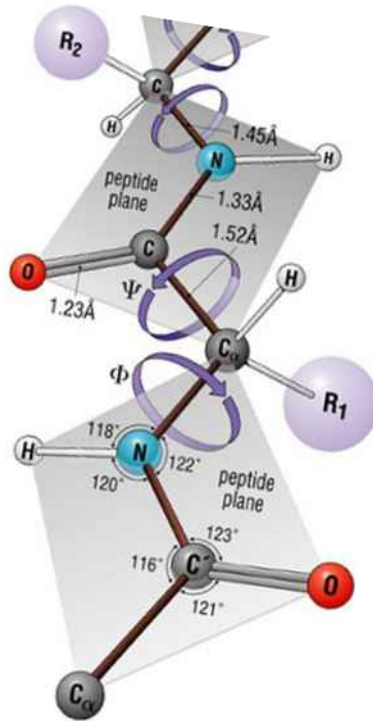
в

б) Модель объединения двух тетрагеликсов, для объяснения (а). Выделение 4-х спиралей: синей, зеленой, розовой и серой (для контраста серые шары обведены черным) проведено нами. в) Модель пентагеликса, полностью совпадающая с предложенной моделью (б).

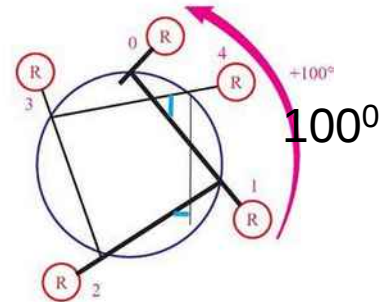


The right-handed  $\alpha$ -helix.

Hydrogen bonds in the main chain are shown as light-blue lines.

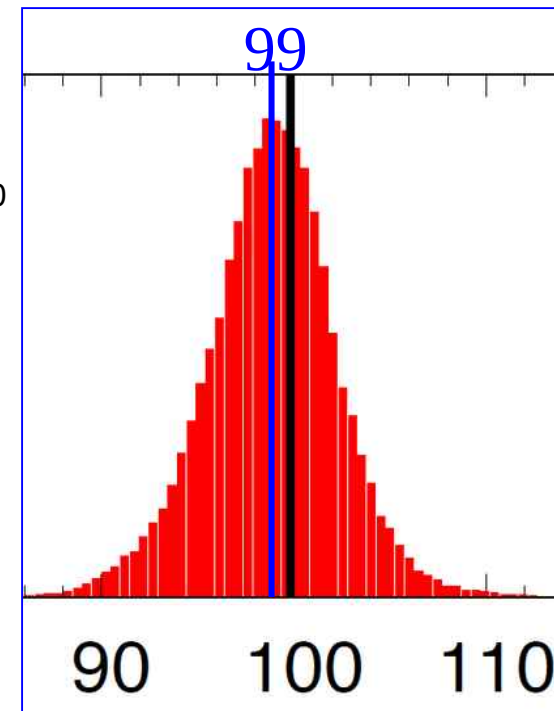


Mean unit twist for the 1131  $\alpha$ -helices ranges between  $94^\circ$  and  $103^\circ$ , with an average value of  $(99 \pm 1)^\circ$ .



$$360^\circ / (18/5) = 100^\circ$$

Axial view of one turn of this  $\alpha$ -helix.



Distribution of  $\alpha$ -helix characteristics the rotation angle

T.Škrbić et al. Building blocks of protein structures – Physics meets Biology. bioRxiv 2021 preprint doi: <https://doi.org/10.1101/2020.11.10.375105>;

# Оси $\alpha$ -спиралей в суперспиралях

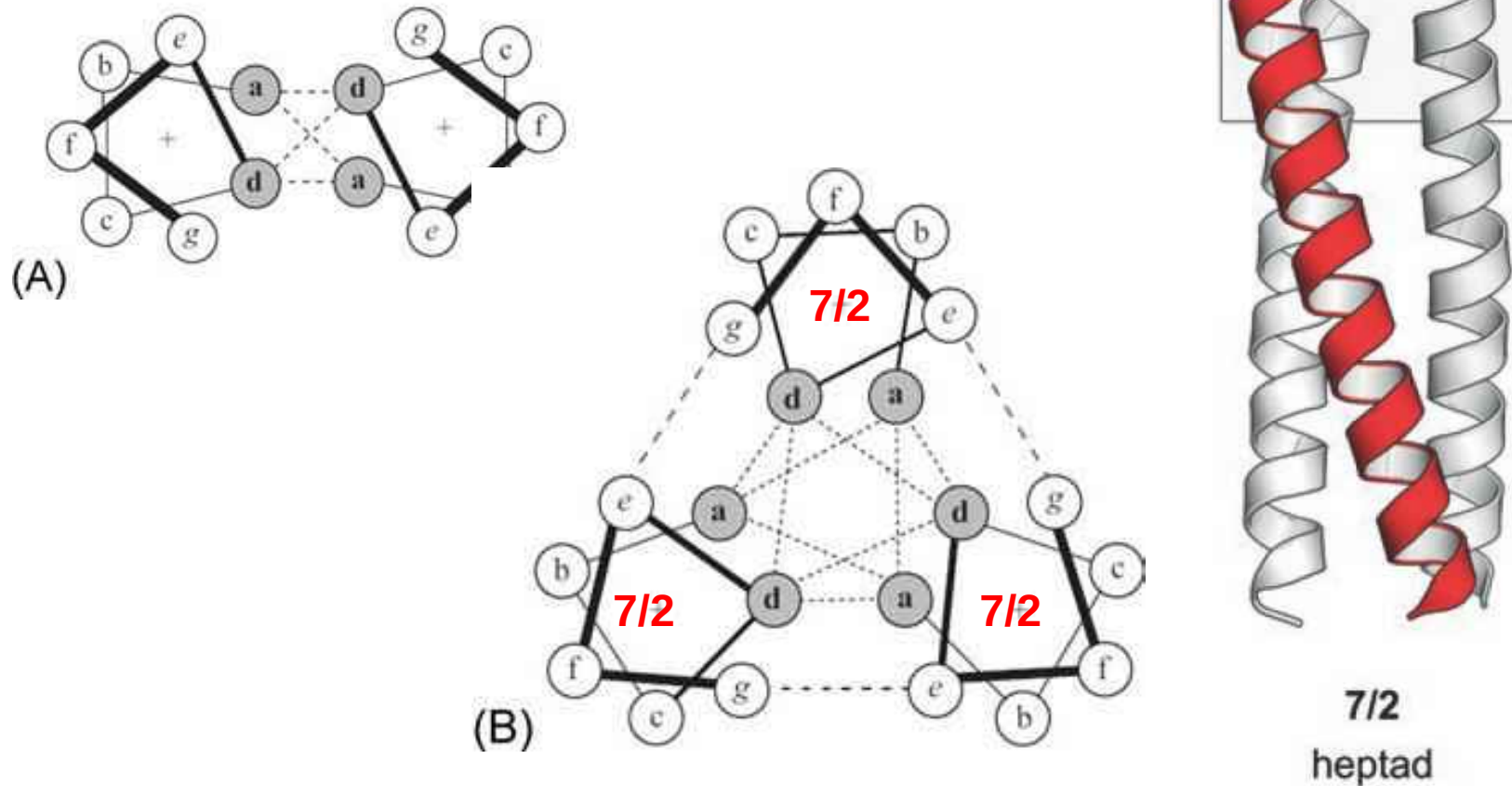
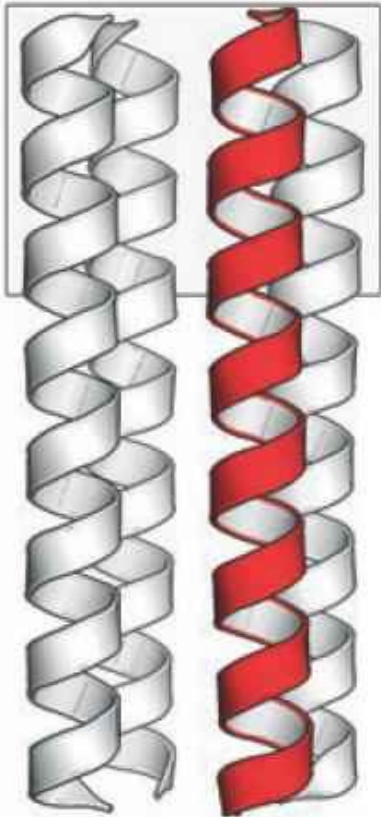


FIG. 11.3 Interactions of  $\alpha$ -helices in double (A) and triple (B) superhelices (as viewed along the helix axis). In the double helix, only residues a and d are in immediate contact with another helix, while in the triple helix e and g residues are also involved in contacts (although to a lesser extent).

(Adapted from Creighton, T.E., 1993. Proteins: Structures and Molecular Properties, second ed. W.H. Freeman & Co., New York (Chapter 5).)

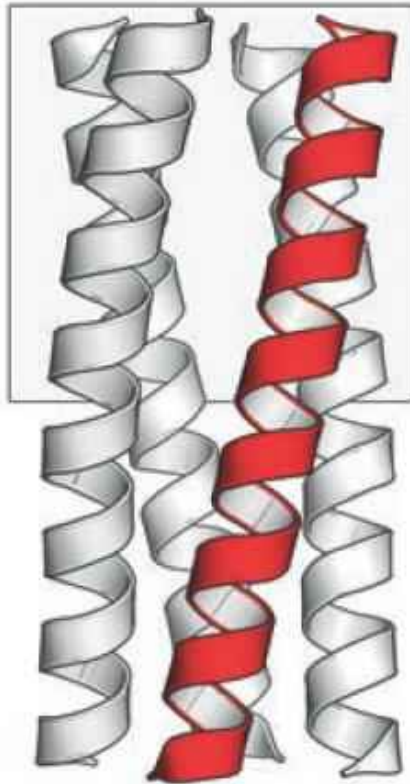
# Оси $\alpha$ - спиралей в суперспиралях

Tetrabrachion



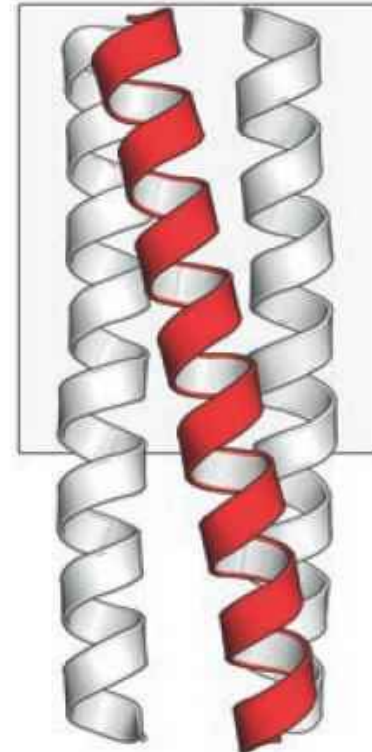
$11/3$   
hendecad

VASP

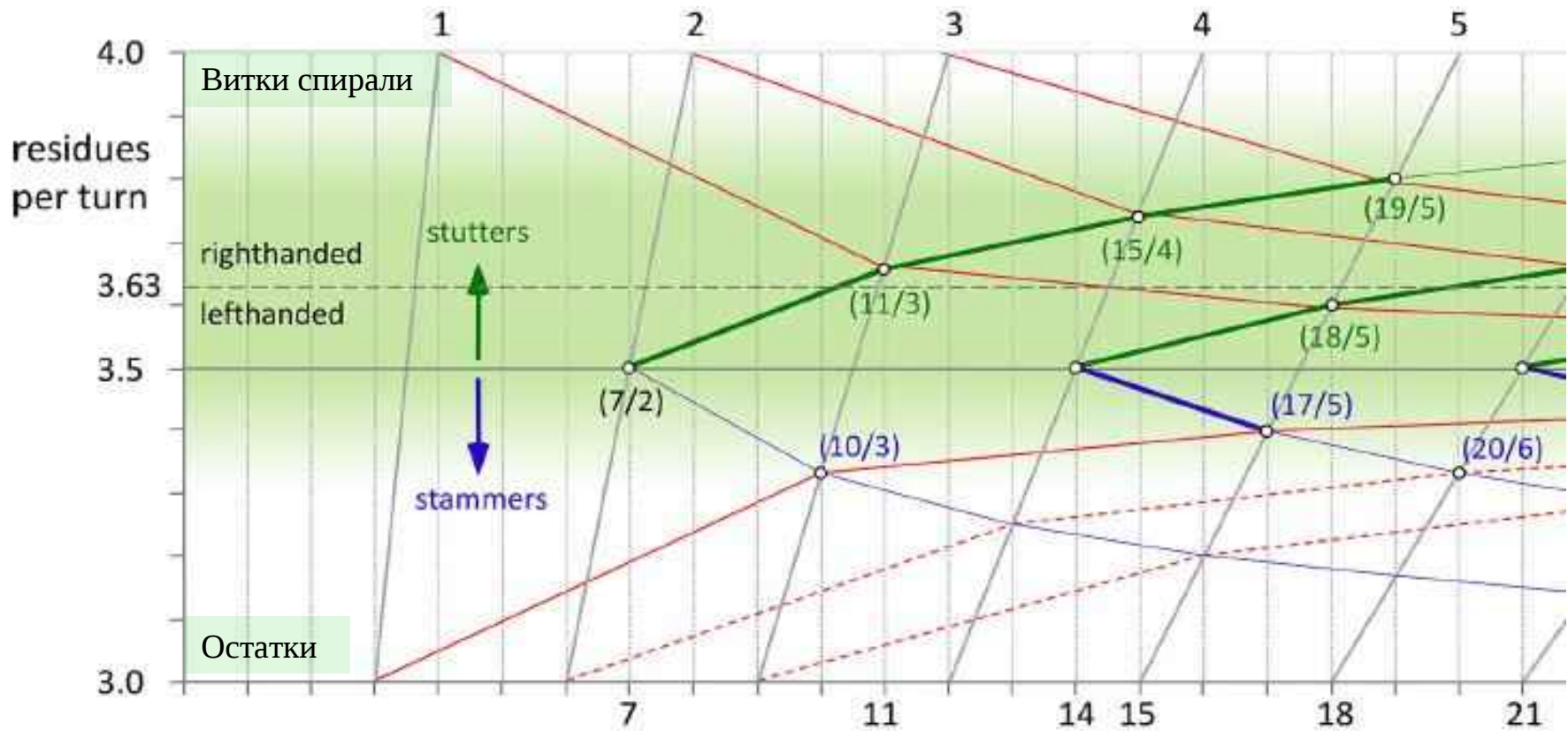


$15/4$   
pentadecad

Hemagglutinin (pH 4)



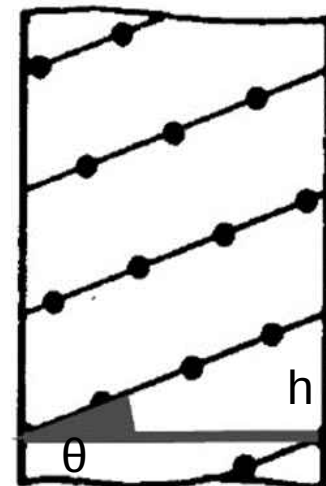
$18/5$   
octadecad



As an ideal, straight  $\alpha$ -helix has a periodicity of about **3.63** residues per turn. The best understood discontinuities are insertions of 3 or 4 residues, which are close to the periodicity of **3.63** of  $\alpha$ -helices ( Lupas and Gruber, 2005).

“Фактически, спустя почти пятьдесят лет после статьи Полинга об  $\alpha$ -спирали, мы все еще не знаем, почему  $\alpha$ -спираль является почти универсальной в качестве спиральной структуры в белках Sadoc, J. F. & Rivier, N. *Eur. Phys. J.* 1999. **B12**, 309-318.

Какая конструкция определяет идеальную прямую-спираль с винтовой осью **3.63** и при каком **шаговом угле**  $\theta$  ?



$2\pi r$

Существует ли единое соотношение, связывающее ось **3.63** с осями  $a$  - спирали **7/2, 11/3, 15/4, 18/5** в суперспиралях?

Плотная упаковка аминокислот аппроксимируется в полиэдральном представлении упаковкой тетраэдров, поэтому решение задачи было начато с поиска высокосимметричных плотноупакованных спиралей, определяемых подструктурами политопа  $\{3,3,5\}$ .

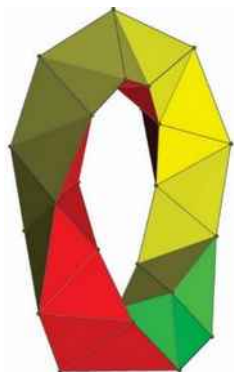


Fig. 2. A flat strip leading to the Boerdijk-Coxeter helix by identification of the two long sides of the rectangle.

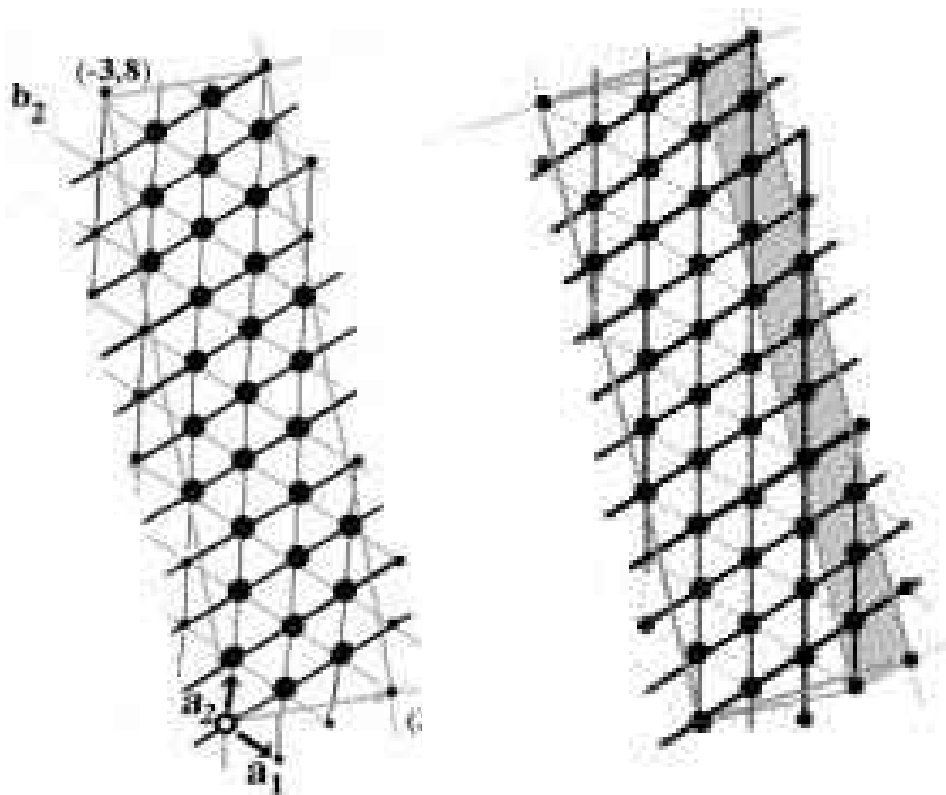


Fig. 3. The strip for an a-helix, by identification of the longer sides. The resulting cylinder is obtained by disclinating the cylinder supporting the B-C helix. It has one additional row of triangles (shaded).

The new parallelogram is defined by vectors  $\mathbf{b}_1$  and  $\mathbf{b}_2$  :  $\mathbf{b}_1 = 4\mathbf{a}_1 + 3\mathbf{a}_2$  and  $\mathbf{b}_2 = -3\mathbf{a}_1 + 8\mathbf{a}_2$  (unchanged). The type-1 helix running along edges parallel to  $\mathbf{a}_1 + \mathbf{a}_2$  consists of **41** edges; it turns **11** times around one axis of the torus and once around the other, leading to a number of edges per turns  $\varphi = 41/11 = 3,(72)$

Угол вращения спирали  $96.6^\circ$

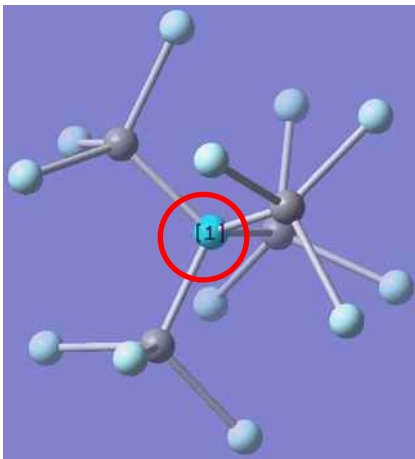
**M. Samoylovich and A. Talis. Symmetry of helicoidal biopolymers in the frameworks of algebraic geometry:  $\alpha$ -helix and DNA structures  
// Acta Cryst. (2014). A70, 186-198**

These points represent cluster vertices, whose helicoid joining determines the topology and structural parameters of linear biopolymers. In particular, structural parameters of the  $\alpha$ -helix are determined by the seven-vertex face-to-face joining of tetrahedral with the  $E_8$  non-integer helical axis  $40/11=3.63$  having a rotation angle of  $99^\circ$ , and the development of its surface coincides with the cylindrical development of the  $\alpha$ -helix.

$$(30/11)^3 = (40/11)^4 = (-40/9)^4 = 10/1$$

Политоп  $\{240\}$  – алмазоподобное объединение 2 политопов  $\{3,3,5\}$

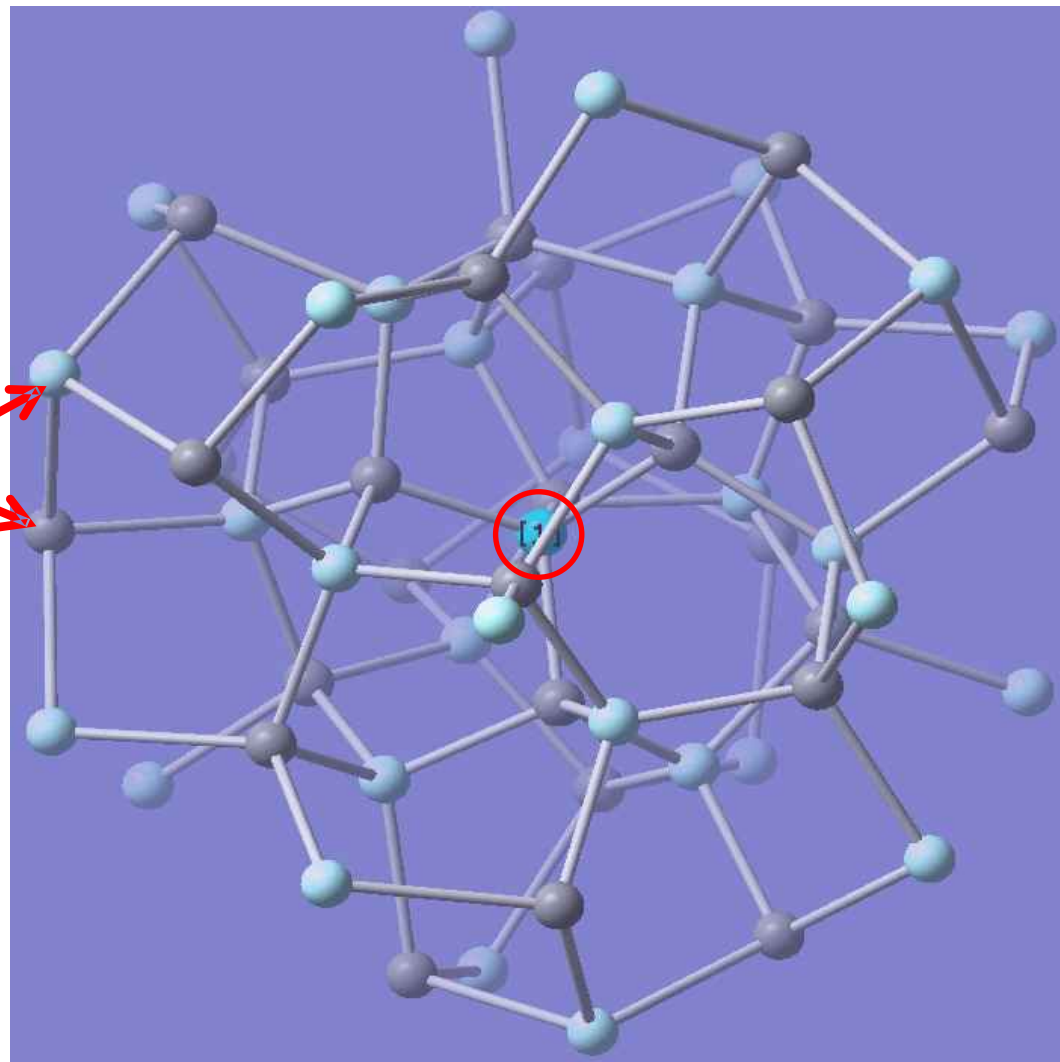
**16** Отображение политопа  $\{240\}$  из сферы  $S^3$  в 3-мерное евклидово пространство является набором тетракоординированных вершин и ребер.



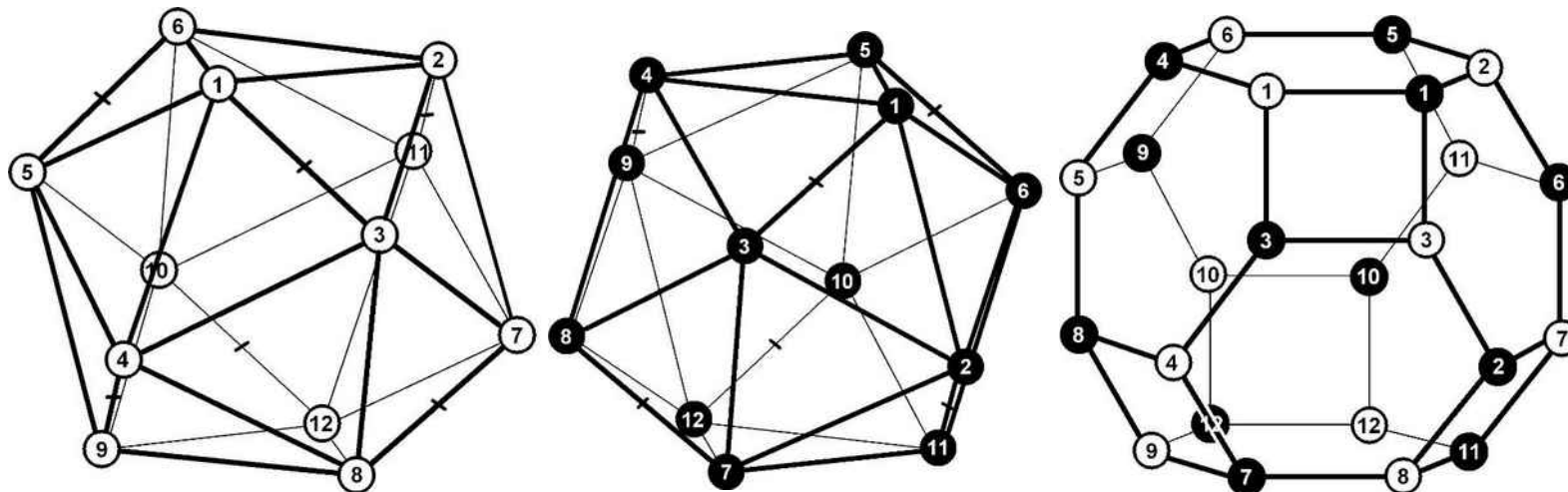
Ближайшие  
**58** соседей  
вершины **1**

Отображения  
вершин двух  
политопов  $\{120\}$

Ближайшие  
**16** соседей  
вершины **1**





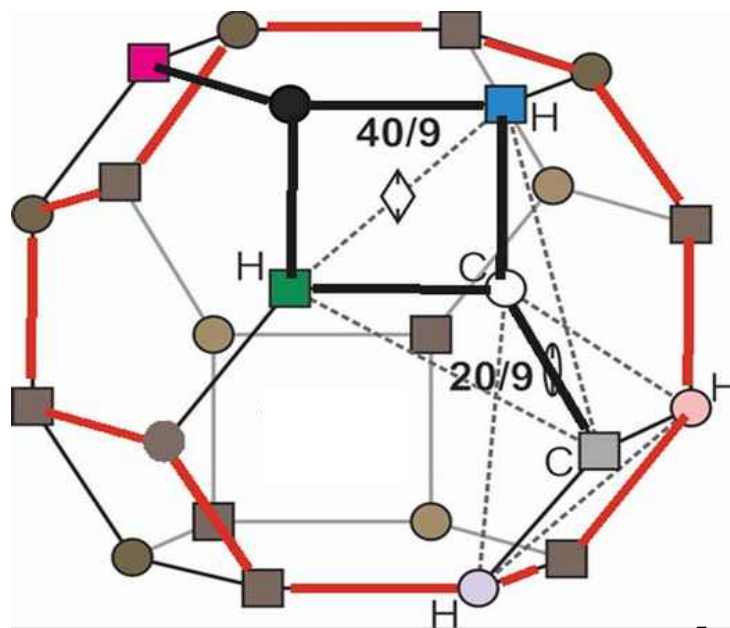


Для “алмазоподобного политопа”  $\{240\}$  построено расслоение Хопфа:

$$\{240\} = \text{база } ([4^6, 6^8]) \cdot \text{слой } \{10\},$$

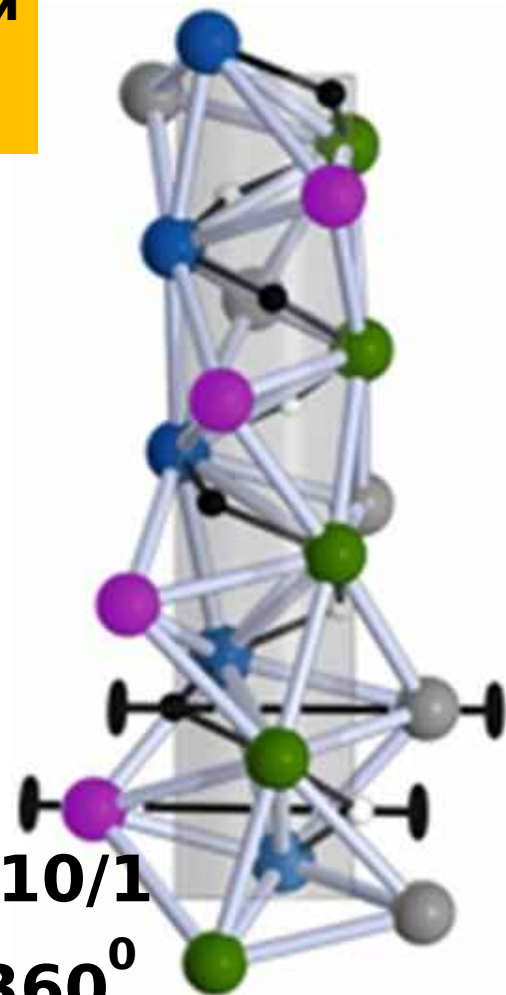
где в слое 10 вершин,  $[4^6, 6^8]$  – символ 24-вершинного усеченного октаэдра, имеющего 6 квадратных и 8 гексагональных граней.

# Расслоение Хопфа и тетракоординированный пентагеликс в политопе {240}

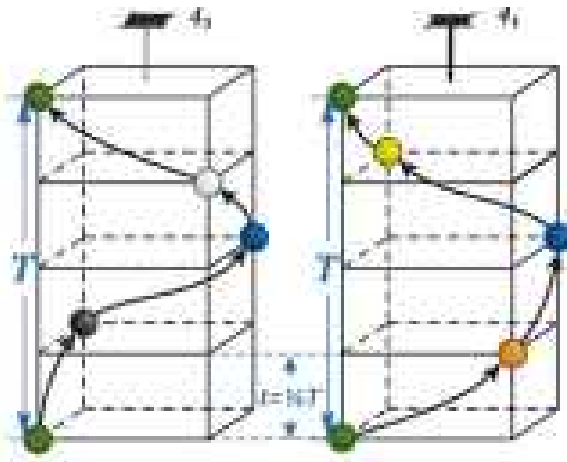


$$(30/11)^3 = (40/11)^4 = (-40/9)^2 = (-20/9)^2 = 10/1$$

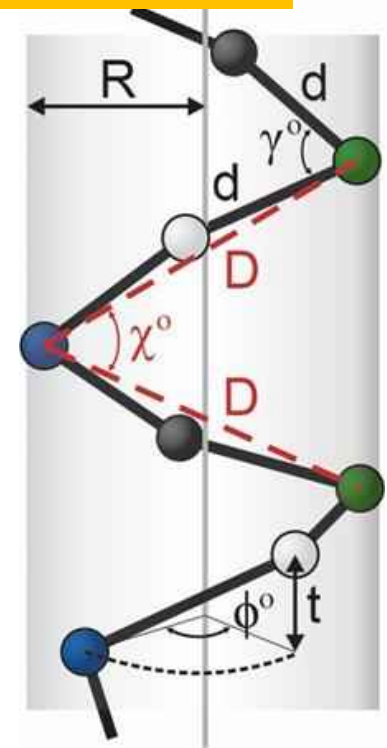
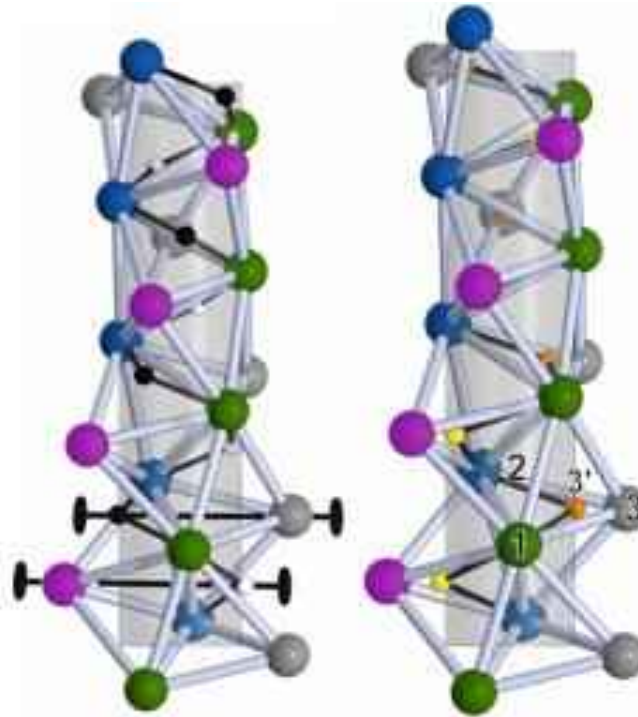
$$396^0 = 396^0 = -324^0 = -324^0 = 36^0 + 360^0$$



Многоугольник Петри усеченного октаэдра (красная цепь из ребер) разбивает его 24 вершины на 6+12+6. В расслоении Хопфа тетракоординированному пентагеликсу соответствует квадрат с двумя висящими ребрами. Цвета этих 6 вершин - цвета десятков.



а) Спираль с винтовой осью  $4_1$  ( $4_3$ ) – объединение двух конгруэнтных спиралей  $2_1$  одинаковой (противоположной) хиральности.



б) Синие и зеленые шары образуют спираль  $\{20/9\}$ . Белые и черные шары в центрах тетраэдрических пустот образуют спираль  $\{20/9\}'$ . Синие, белые, зеленые и черные шары образуют спираль  $40/9$ , показанную черной линией

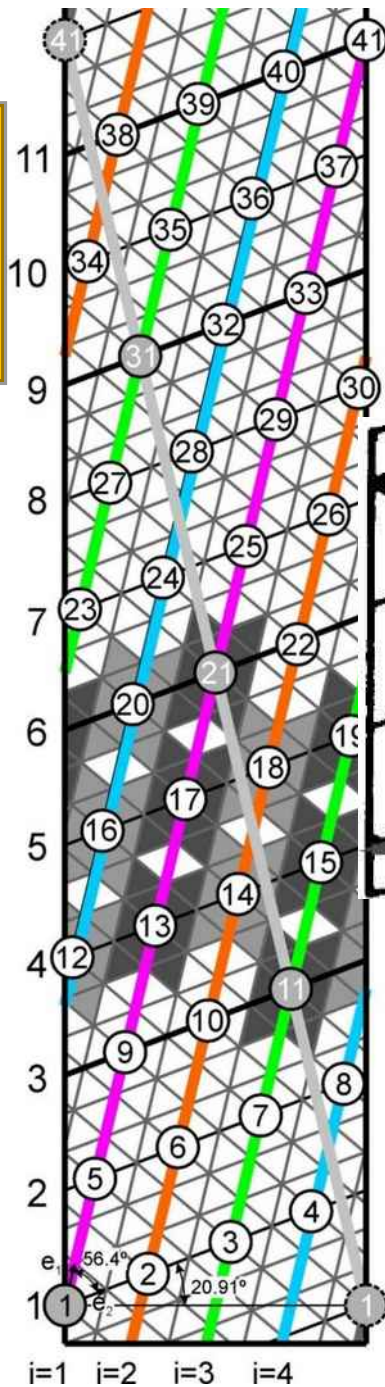
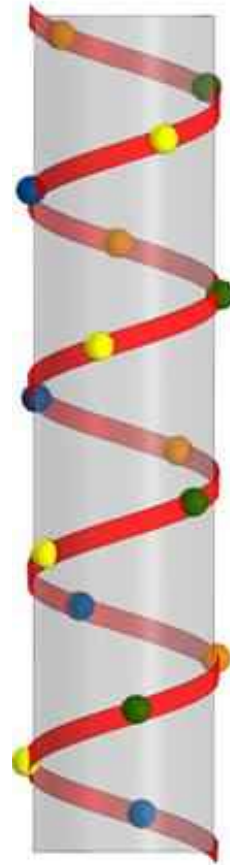
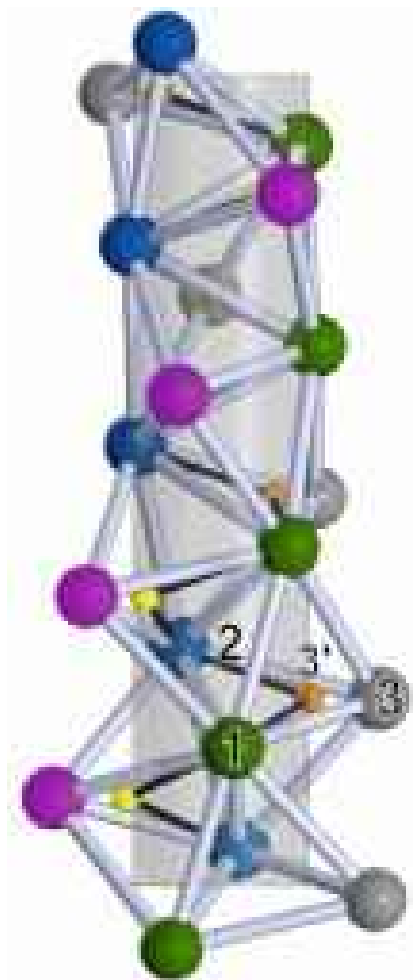
в) желтые (оранжевые) шары расположены на биссектрисах треугольников из синих, зеленых и лиловых (серых) вершин.

г) Спираль, соответствующая спирали  $40/9$  (рис.3б), с углом вращения и сдвигом  $t$  вдоль оси цилиндра радиуса  $R$ . Углы между ребрами  $d$  спирали равны . Гипотетические ребра (красный пунктир) между четными (нечетными) вершинами спирали равны  $D$ , углы между ними равны  $\chi$

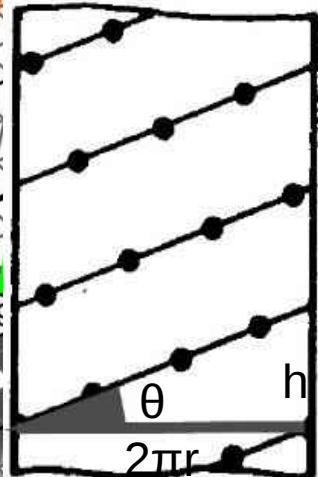
Helix	$\phi^\circ$	$R$	$t$	$d$
20/9 in [3,3,5]	$162^\circ$	$15.859^\circ$	$18^\circ$	$36^\circ$
	$\frac{\sqrt{r+2}}{2}$	$\frac{r}{\sqrt{r+2}} *$	$\frac{\sqrt{r+2}}{2}$	$\frac{r}{2}$
$(20/9)_{0r}$	$160.812^\circ$	$R$	$2 \times 0.537R$	$2.245R$
	$-\frac{17}{19}$	$R$	$\frac{2\sqrt{210}}{21} R$	$\frac{35\sqrt{3}}{21} R$
$(20/9)_1$	$162^\circ$	$R$	$2 \times 0.542R$	$2.253R$
$(20/9)_2$	$162^\circ$	$R$	$2 \times 0.669R$	$2.386R$
40/9 in [240]	$81^\circ$	$15.859^\circ$	$9^\circ$	$22.239^\circ$
	$\frac{r-\sqrt{3-r}}{\sqrt{8}}$	$\frac{r}{\sqrt{r+2}} *$	$\frac{r}{2} **$	$\frac{r^2}{\sqrt{8}}$
$(40/9)_{0r}$	$80.406^\circ$	$R$	$0.537R$	$1.398R$
	$\frac{1}{8}$	$R$	$\frac{\sqrt{210}}{21} R$	$\frac{5\sqrt{31}}{21} R$
$(40/9)_1$	$81^\circ$	$R$	$0.542R$	$1.407R$
$(40/9)_r$	$81^\circ$	$R$	$0.669R$	$1.461R$
40/11 in $S^3$	$99^\circ$	$15.859^\circ$	$9^\circ$	$25.544^\circ$
	$-\frac{r-\sqrt{3-r}}{\sqrt{8}}$	$\frac{r}{\sqrt{r+2}} *$	$\frac{r}{2} **$	$\frac{3-r\sqrt{2}}{4\sqrt{r+2}}$
$(40/11)_{0r}$	$99.594^\circ$	$R$	$0.537R$	$1.619R$
	$-\frac{1}{8}$	$R$	$\frac{\sqrt{210}}{21} R$	$\frac{3\sqrt{39}}{21} R$
$(40/11)_1$	$99^\circ$	$R$	$0.542R$	$1.614R$
$(40/11)_r$	$99^\circ$	$R$	$0.669R$	$1.661R$

Helix	$\gamma^\circ$	$D$	$\chi^\circ$	$\theta^\circ$
20/9 in [3, 3, 5]	$63.435^\circ$	$36^\circ$	$180^\circ$	$21.362^\circ$
	$\frac{\sqrt{5}}{3}$	$\frac{1}{2}$	-1	$\frac{r+\sqrt{r+12}}{9}$
$(20/9)_{lr}$	$60^\circ$	$2.245R$	$168.956^\circ$	$20.930^\circ$
	$60^\circ$	$\frac{35\sqrt{3}}{27}R$	$-\frac{51}{54}$	$\frac{\sqrt{210}}{24}$
$(20/9)_1$	$60^\circ$	$2.253R$	$170.274^\circ$	$20.963^\circ$
$(20/9)_2$	$70.285^\circ$	$2.747R$	$172.026^\circ$	$25.327^\circ$
40/9 in [240]	$109.471^\circ$	$36^\circ$	$63.435^\circ$	$21.362^\circ$
	$-\frac{1}{3}$	$\frac{1}{2}$	$\frac{\sqrt{5}}{3}$	$\frac{r+\sqrt{r+12}}{9}$
$(40/9)_{lr}$	$106.826^\circ$	$2.245R$	$60^\circ$	$20.930^\circ$
	$-\frac{11}{36}$	$\frac{35\sqrt{3}}{27}R$	$60^\circ$	$\frac{\sqrt{210}}{24}$
$(40/9)_1$	$106.343^\circ$	$2.253R$	$60^\circ$	$20.963^\circ$
$(40/9)_-$	$109.471^\circ$	$2.386R$	$70.285^\circ$	$25.327^\circ$
40/11 in $S^3$	$91.553^\circ$	$36^\circ$	$63.435^\circ$	$17.745^\circ$
	$\frac{8\sqrt{3}-19}{41}$	$\frac{1}{2}$	$\frac{\sqrt{5}}{3}$	$\frac{r+\sqrt{r+12}}{11}$
$(40/11)_{lr}$	$87.796^\circ$	$2.245R$	$60^\circ$	$17.159^\circ$
	$\frac{1}{36}$	$\frac{35\sqrt{3}}{27}R$	$60^\circ$	$\frac{\sqrt{210}}{272-a}$
$(40/11)_1$	$88.495^\circ$	$2.253R$	$60^\circ$	$17.404^\circ$
$(40/11)_2$	$91.782^\circ$	$2.386R$	$70.285^\circ$	$21.168^\circ$

Спираль  $\{40/11\}$  с шаговым углом  $21.168^\circ$ , - искомый прототип **одиночной прямой - спирали.**



Соотношение  $i \quad i+4$  для **водородной** связи -спирали определяется соотношением  $(40/11)^4 = 10_1$   
 $99^\circ \cdot 4 = 36^\circ + 360^\circ = 396^\circ$

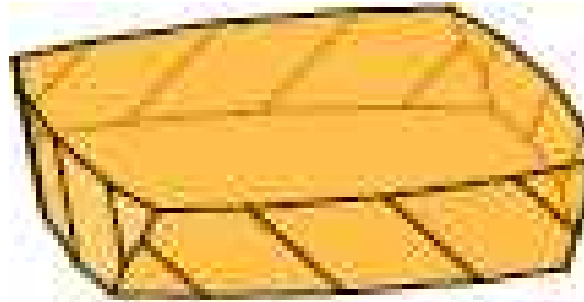
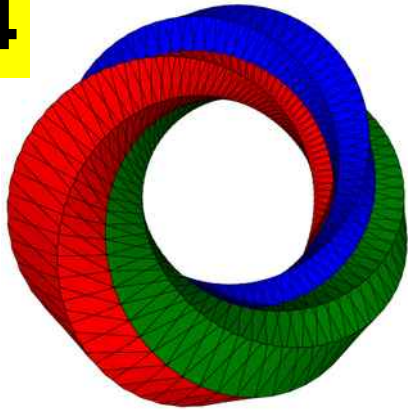


Спиральное вращение:  
 $360^\circ : 40/11 = 99$   
 $360^\circ : 18/5 = 100$   
 Отношение шага спирали к радиусу: **2.43** и 2.35,  
 расстояние С -С : **3.81 Å** и **3.80 Å**,  
 шаговый угол  $\Theta$  : **21.168** и 20.5

Шульц Г., Ширмер Р. Принципы структурной организации белков. М. 1982.

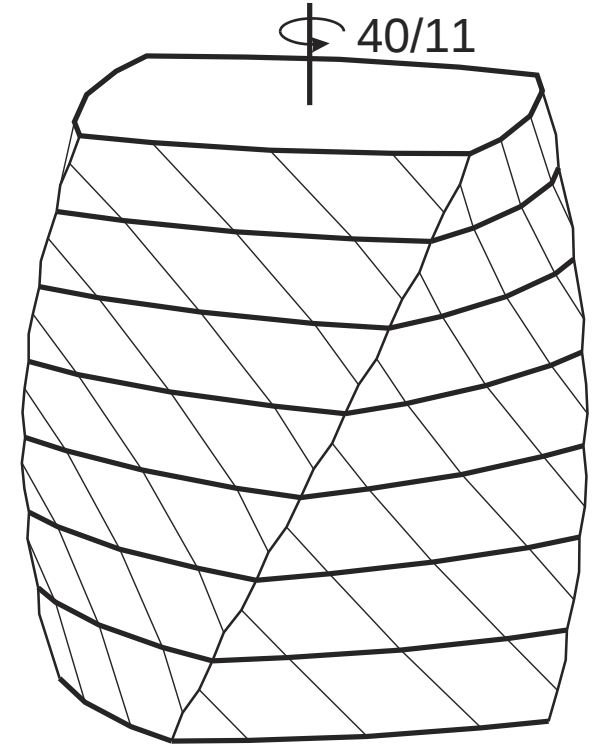
1. $(C_{2mr}/C_{2m}; C_{2nr}/C_{2n})_s$	$2mnr$	17. $(D_{2m}/D_m; O/T)$	$96m$
2. $(C_{2m}/C_{2m}; D_n/D_n)$	$8mn$	18. $(D_{6m}/C_{2m}; O/V)$	$48m$
3. $(C_{4m}/C_{2m}; D_n/C_{2n})$	$4mn$	19. $(D_m/D_m; I/I)$	$240m$
4. $(C_{4m}/C_{2m}; D_{2n}/D_n)$	$8mn$	20. $(T/T; T/T)$	$288$
5. $(C_{2m}/C_{2m}; T/T)$	$24m$	21. $(T/C_2; T/C_2)$	$24$
6. $(C_{6m}/C_{2m}; T/V)$	$24m$	22. $(T/V; T/V)$	$96$
7. $(C_{2m}/C_{2m}; O/O)$	$48m$	23. $(T/T; O/O)$	$576$
8. $(C_{4m}/C_{2m}; O/T)$	$48m$	24. $(T/T; I/I)$	$1440$
9. $(C_{2m}/C_{2m}; I/I)$	$120m$	25. $(O/O; O/O)$	$1152$
10. $(D_m/D_m; D_n/D_n)$	$8mn$	26. $(O/C_2; O/C_2)$	$48$
11. $(D_{mr}/C_{2m}; D_{nr}/C_{2n})_s$	$4mnr$	27. $(O/V; O/V)$	$192$
12. $(D_{2m}/D_m; D_{2n}/D_n)$	$16mn$	28. $(O/T; O/T)$	$576$
13. $D_{2m}/D_m; D_n/C_{2n})$	$8mn$	29. $(O/O; I/I)$	$2880$
14. $(D_m/D_m; T/T)$	$48m$	30. $(I/I; I/I)$	$7200$
15. $(D_m/D_m; O/O)$	$96m$	31. $(I/C_2; I/C_2)$	$120$
16. $(D_m/C_{2m}; O/T)$	$48m$	32. $(I^\dagger/C_2; I/C_2)^\dagger$	$120$

24



$$n = 5$$

$$\left(\frac{1}{4} + \frac{1}{40}\right) \cdot 2\pi$$



Каждый tube в политопах со стартовой группой  $\pm 1/2[\mathbf{O} \times \mathbf{C}_{2n}]$  и выборе оси 4 в группе  $\mathbf{O}$  определяет спираль из призматических ячеек с углом вращения

$$2\pi \cdot m/L = 2\pi \cdot (1/4 + \text{НОД}(n-2, 4)/8n).$$

Т.о, в политопах этого семейства допустима серия винтовых осей,  $(L/m)_n$ :

$$(L/m)_n = \{4/(1 + \text{НОД}(n-2, 4)/2n) \mid n=14, 18, 5, 22, 12, 7\}$$

$$(L/m)_n = \{7/2, 18/5, 40/11, 11/3, 48/13, 56/15\}$$

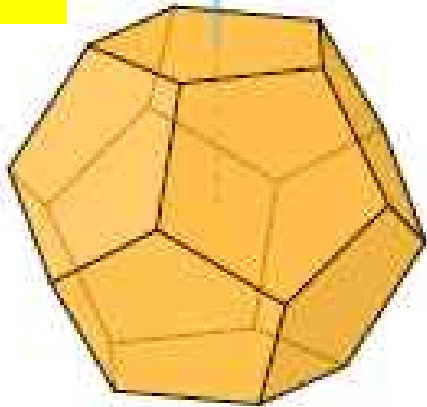
$$(L/m)_{n=5} = \{4/(1 + \text{НОД}(3, 4)/2 \cdot 5)\} = 4/(1 + 1/10) = 4/(11/10) = 40/11$$

$$(L/m)_{n=14} = \{4/(1 + \text{НОД}(12, 4)/2 \cdot 14)\} = 4/(1 + 4/28) = 4/(1 + 1/7) = 4/(8/7) = 7/2$$



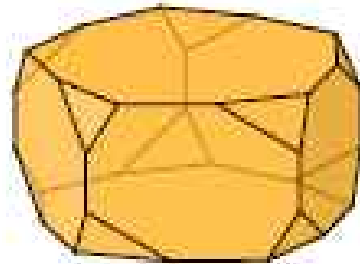
25

При выборе в группе I оси 5 в политопах  $\pm[I \times C_n]$  существуют оси



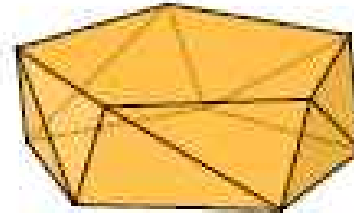
$$n = 1, 5 \\ \left(\frac{4}{5} + \frac{1}{10}\right) \cdot 2\pi$$

**10/1**



$$n = 2, 10 \\ \left(\frac{2}{5} + \frac{1}{20}\right) \cdot 2\pi$$

**20/9**



$$n = 3, 15 \\ \left(\frac{3}{5} + \frac{1}{30}\right) \cdot 2\pi$$

**30/11**



$$n = 4, 20 \\ \left(\frac{1}{5} + \frac{1}{40}\right) \cdot 2\pi$$

**40/9**

При выборе в группе O оси 4 в политопах  $\pm 1/2[O \times C_{2n}]$  существуют оси



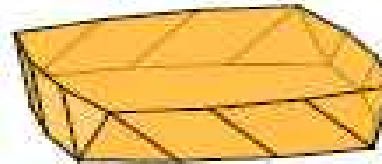
$$n = 5 \\ \left(\frac{1}{4} + \frac{1}{40}\right) \cdot 2\pi$$

**40/11**



$$n = 14 \\ \left(\frac{1}{4} + \frac{1}{28}\right) \cdot 2\pi$$

**7/2**



$$n = 18 \\ \left(\frac{3}{4} + \frac{1}{36}\right) \cdot 2\pi$$

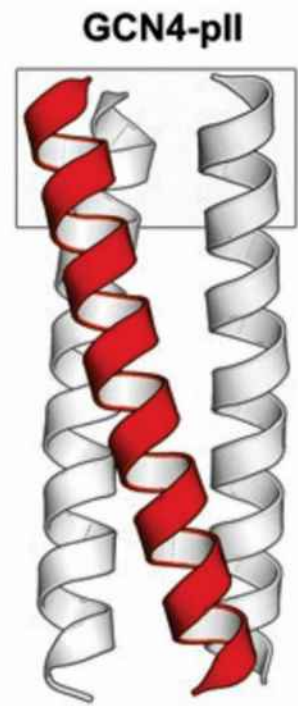
**18/5**



$$n = 22 \\ \left(\frac{1}{4} + \frac{1}{44}\right) \cdot 2\pi$$

**11/3**

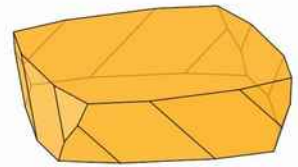
Оси  $\alpha$  - спиралей в суперспиралях определяются осями семейства политопов  $\pm 1/2[O \times C_{2n}]$  при оси  $C_4$  из группы O и  $n=14, 22, 18$ .



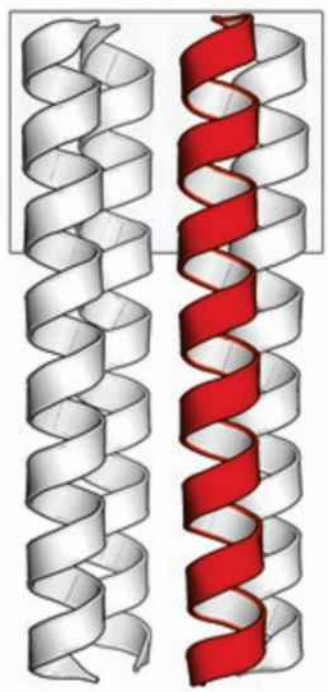
GCN4-pII

7/2

heptad



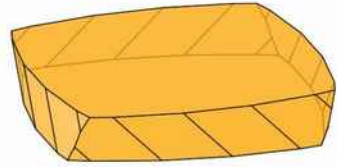
$(1/4 + 1/28) \cdot 2\pi$



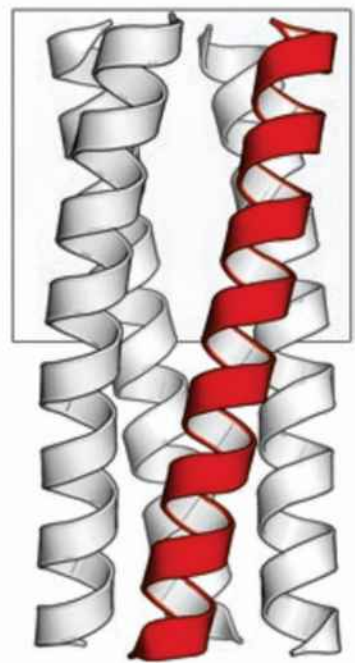
Tetrabrachion

11/3

hendecad



$(1/4 + 1/44) \cdot 2\pi$

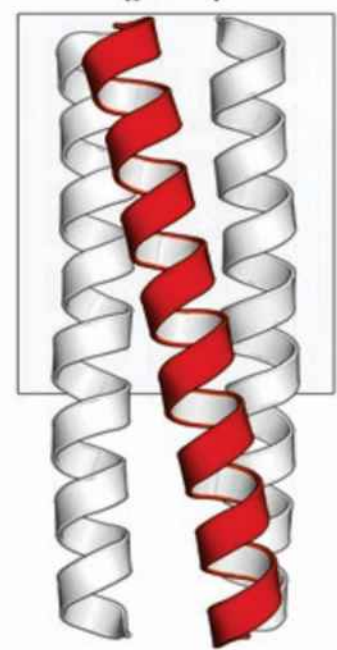


VASP

15/4

pentadecad

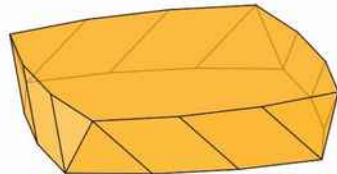
?



Hemagglutinin (pH 4)

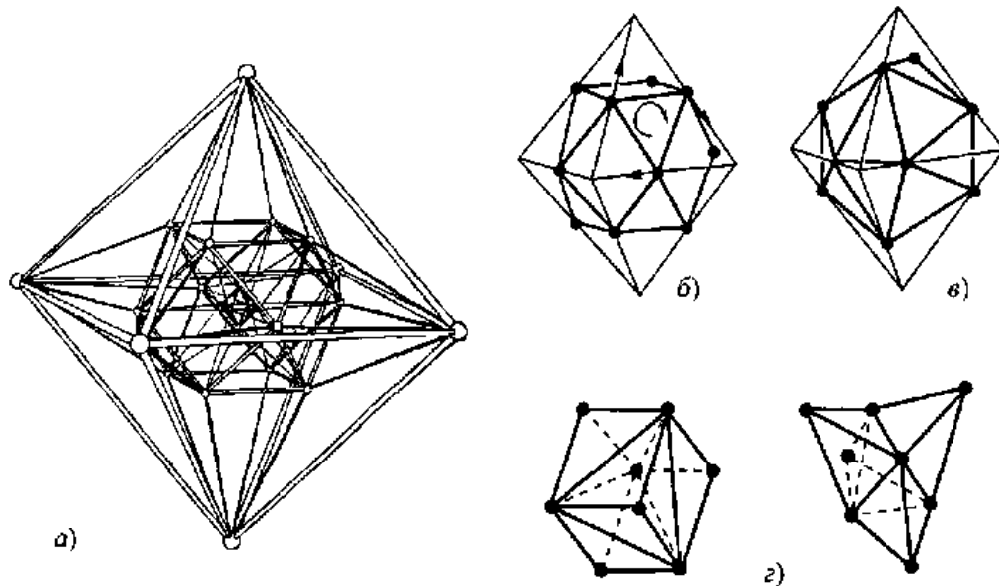
18/5

octadecad



$(1/4 + 1/36) \cdot 2\pi$

# Конструкция Госсета – разбиение политапа $\{3,3,5\}$ на 24 центрированных икосаэдра и 24 тетраэдрических звезды.



**Рис. 20. Конструкция Госсета.** а) Проекция политапа  $\{3, 4, 3\}$  в  $E^3$  [47]. б) Центры ребер октаэдра образуют кубооктаэдр. Показанные стрелками сдвиги вершин кубооктаэдра вдоль ребер октаэдра обеспечивают вращение треугольной грани кубооктаэдра по часовой стрелке. в) Икосаэдр, в который трансформируется кубооктаэдр (б) при синхронном вращении его четырех треугольных граней. г) Трансформация куба в объединение 5 тетраэдров — центральный тетраэдр с тетраэдрами на каждой грани [19]

трансформируется кубооктаэдр при синхронном вращении его 4-х треугольных граней. пересекаются по двум столбцам. г) Трансформация куба в тетраэдрическую звезду из 5 тетраэдров.

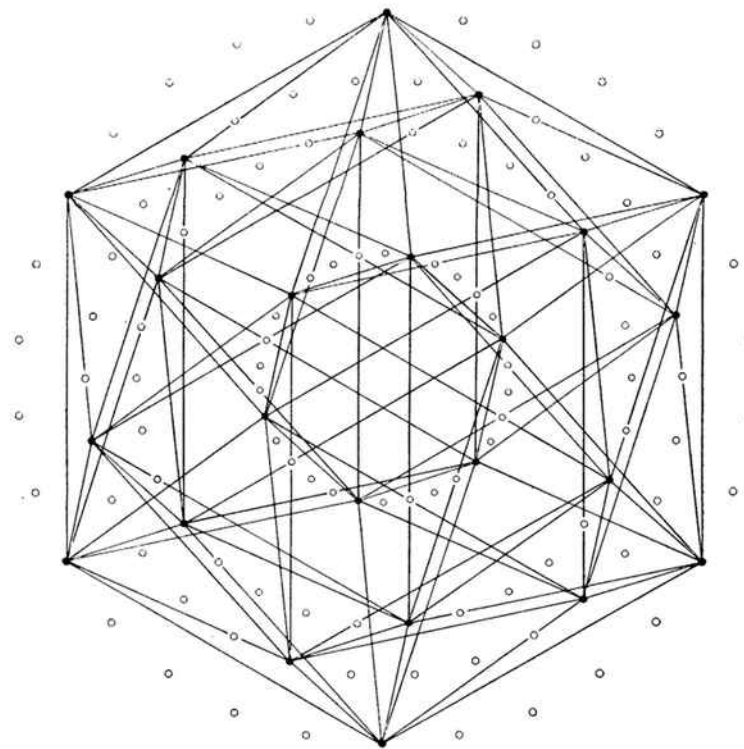
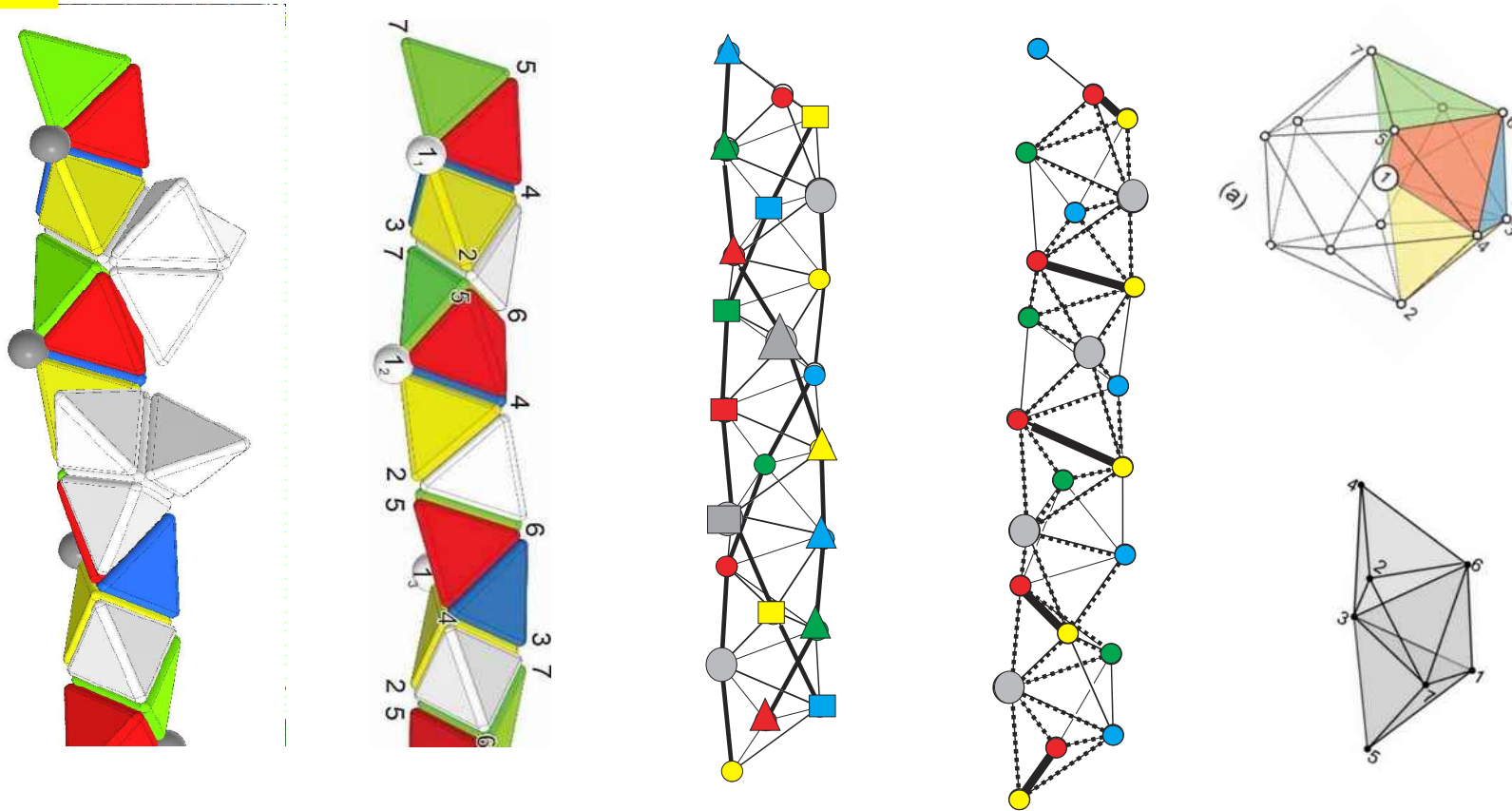


FIG. 14-3c  
One  $\{3, 4, 3\}$  of  $\{3, 3, 5\}[5\{3, 4, 3\}]\{5, 3, 3\}$

Политоп  $\{3,3,5\}$  – компанд  $\{3,3,5\}[5\{3,4,3\}]\{5,3,3\}$  из 5 политапов  $\{3,4,3\}$

Разбиение политопа {335} и по Госсету, и на 5 политопов {3,4,3} приводит к разбиению тетрагеликса на объединение тетраблоков по ребрам

28



Политоп {3,3,5} – компанд {3,3,5}[5{3,4,3}]{5,3,3} из 5 политопов {3,4,3}: синего, желтого, серого, красного, зеленого цветов. Десятка разбивается на 2 пятерки этих цветов. Эта пятерка вершин в реализуется в тетраблоках при их объединении в тетрагеликсе по ребрам:  $2 \times 1/2$  (красная и желтая) + синяя, серая, зеленая.

Any tetrahedral chain consists of three types of simplest configurations of four consecutive tetrahedra called *tetrahedral units*. Two of these types are left and right tetrahedral short spirals,  $U$ ,  $D$ , and the third type,  $F$ , is a flat configuration of four tetrahedra (Figure 2). The structure of a tetrahedral chain in  $D$ ,  $F$ ,  $U$  elementary units is written as a word like  $UUDFUD\dots$ .

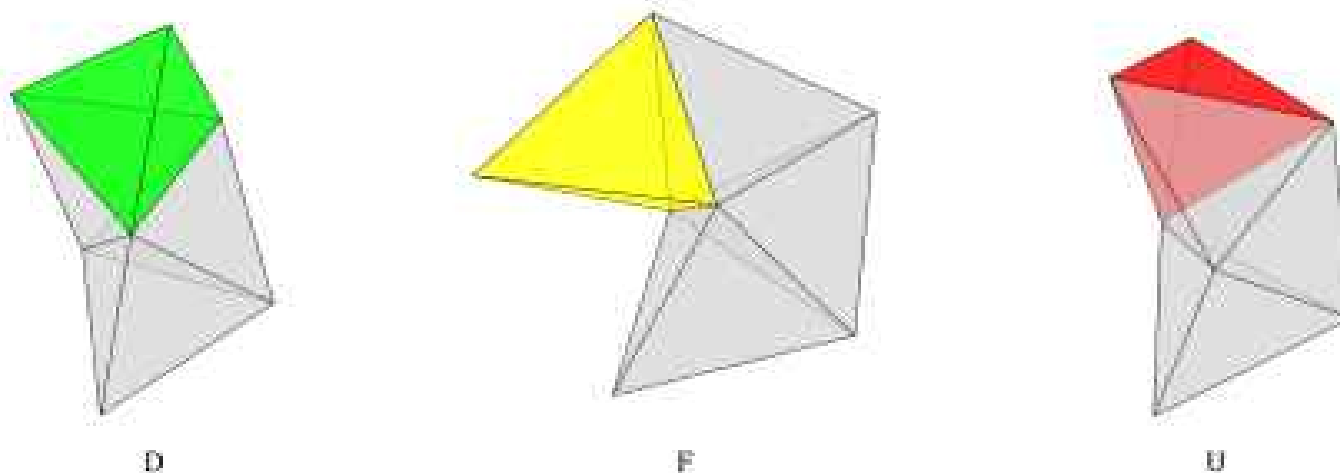
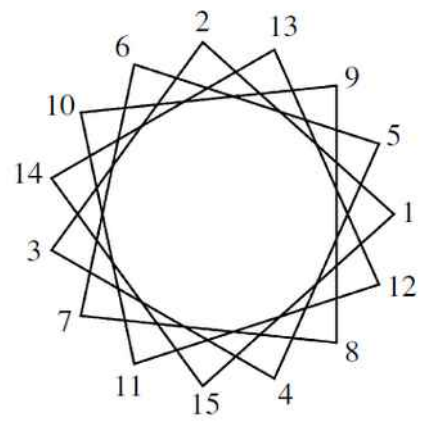
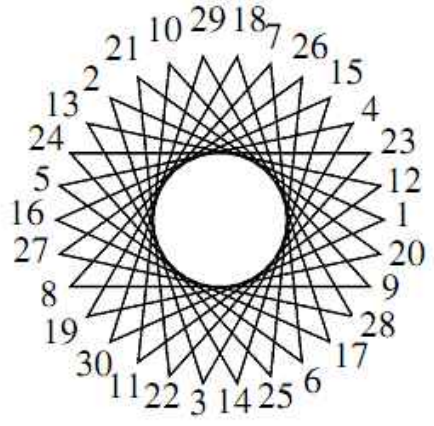
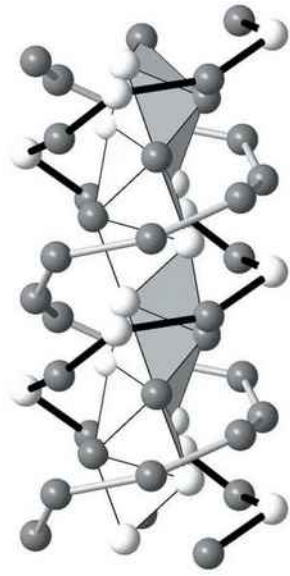
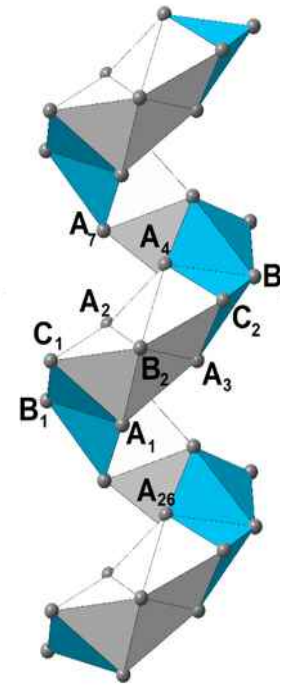
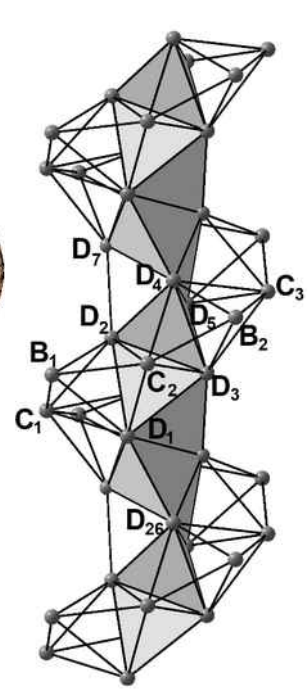
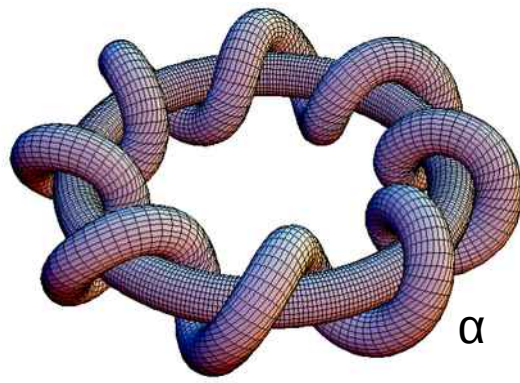
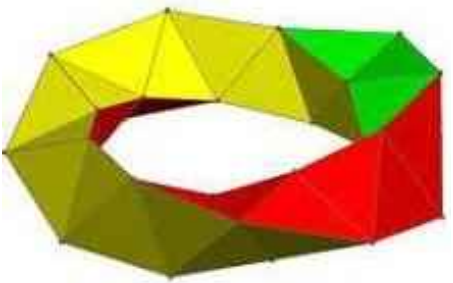


Figure 2: Tetrahedral units.

120 вершин политопа {3,3,5} отображаются на поверхности четырех 30-вершинных торов с симметрией 30/11 или двух обвивающих их 60-вершинных тороидальных спиралей из тетраблоков с симметрией 15/4

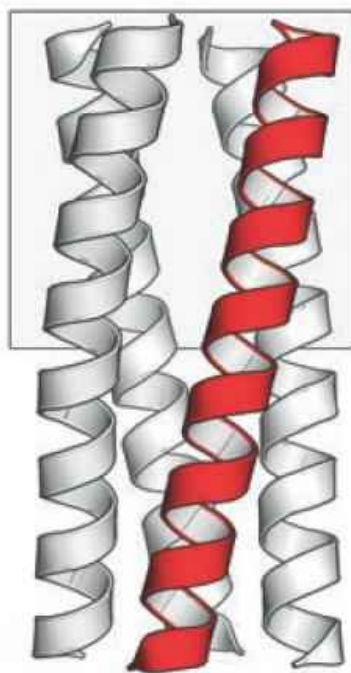
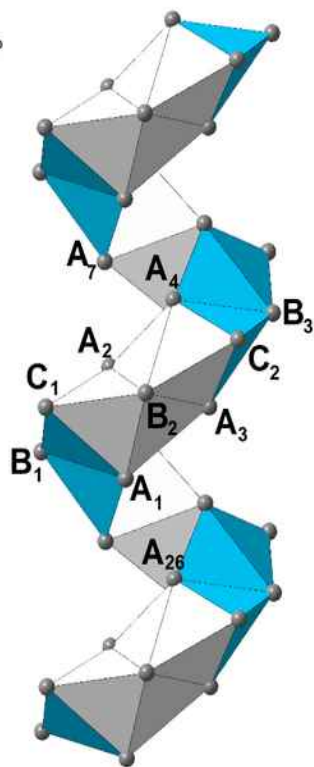
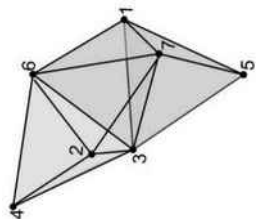


$360^{\circ} : 30/11 = 132^{\circ}$   
**30/11**

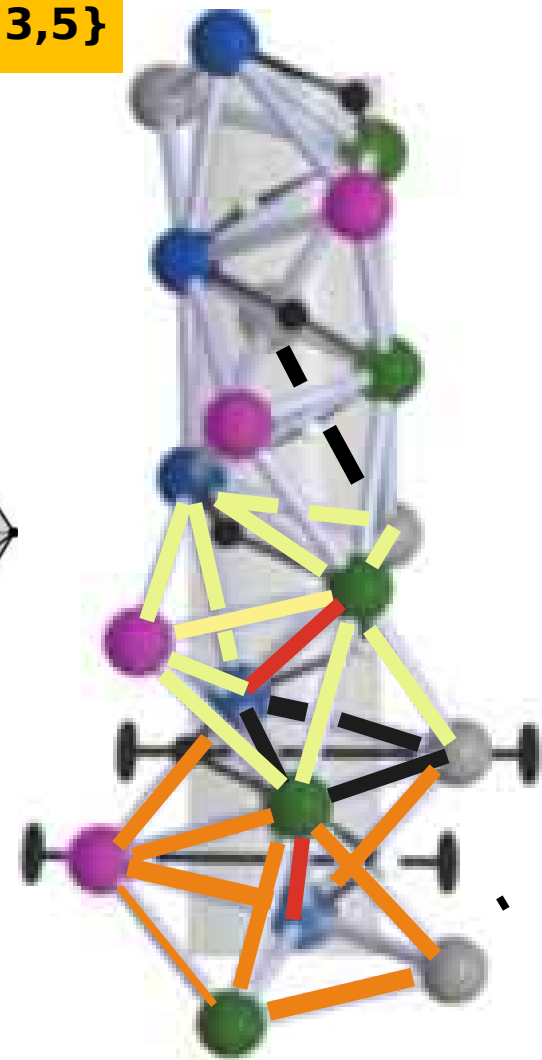
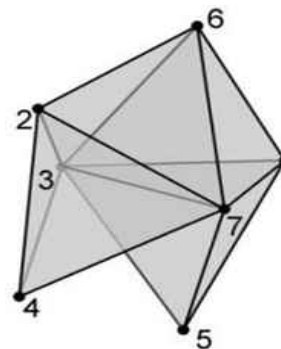
$360^{\circ} : 15/4 = 96^{\circ}$   
**15/4**

Спираль 15/4 из тетраблоков обвивает тетрагеликс. При искажении тетраэдров реализуется в кристалле  $\beta$ - Mn.

Talis, A., Everstov, A. & Kraposhin, V. (2021). Acta Cryst. A77, 7–18.



15/4

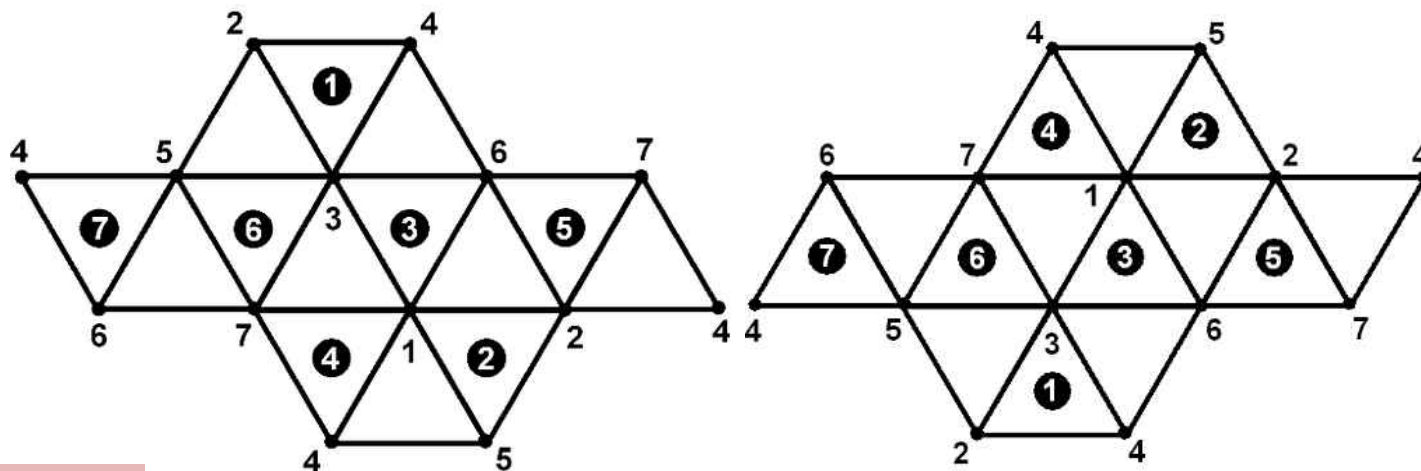


Спираль 15/4 из  
объединяемых по граням  
линейных тетраблоков.  
Центры тетраблоков -  
атомы С

М. Samoylovich, А. Talis // Acta  
Cryst. (2014). А70, 186–198

Пентагеликс - спираль 10/1 из  
объединяемых по граням плоских  
тетраблоков или спираль 20/9 из  
пересекающихся плоских тетраблоков.

	1	2	3	4	5	6	7
1		○	○	○			
2	○	○			○		
3	○		○			○	
4	○			○			○
5		○				○	○
6			○		○		○
7				○	○	○	



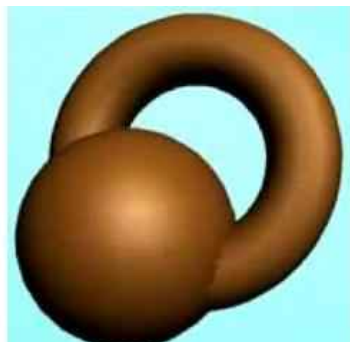
### ТИ блок-схемы 2-(7,3,1)

**В ТИ 2-(7,3,1)** строка - блок из номеров 3-х столбцов, он соответствует треугольнику. Номер столбца – вершина треугольника, 2 строки пересекаются по 1 столбцу

**Наиболее симметричная триангуляция сферы с  $g$  “ручками” возможна для  $v$  вершин:  $v=0, 3, 4, 7 \pmod{12}$ ,  $g=(v-3)(v-4)/12$ .**

**При  $v=7$ ,  $g=1$ : тор - сфера с ручкой**

Правая и левая развертки регулярно триангулированного тора определяются одной ТИ



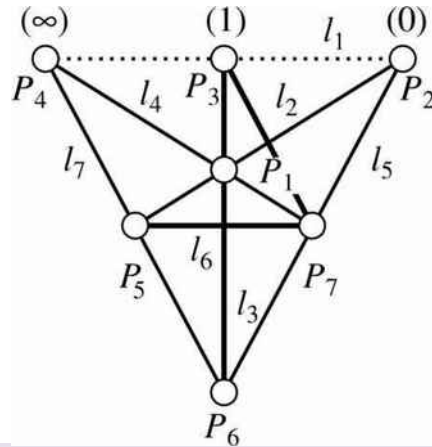
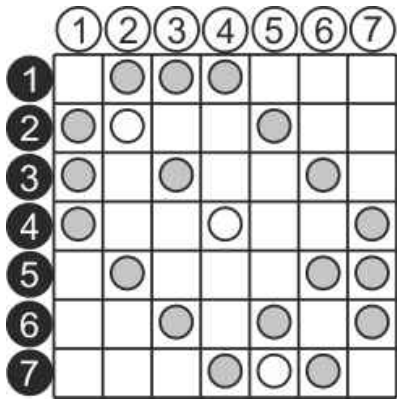
**Комбинаторная предгеометрия 2-(7,3,1) переводится в геометрию**

регулярную 7-вершинную триангуляцию тора 21 ребром на 14 треугольников.

**Характеристика Эйлера**

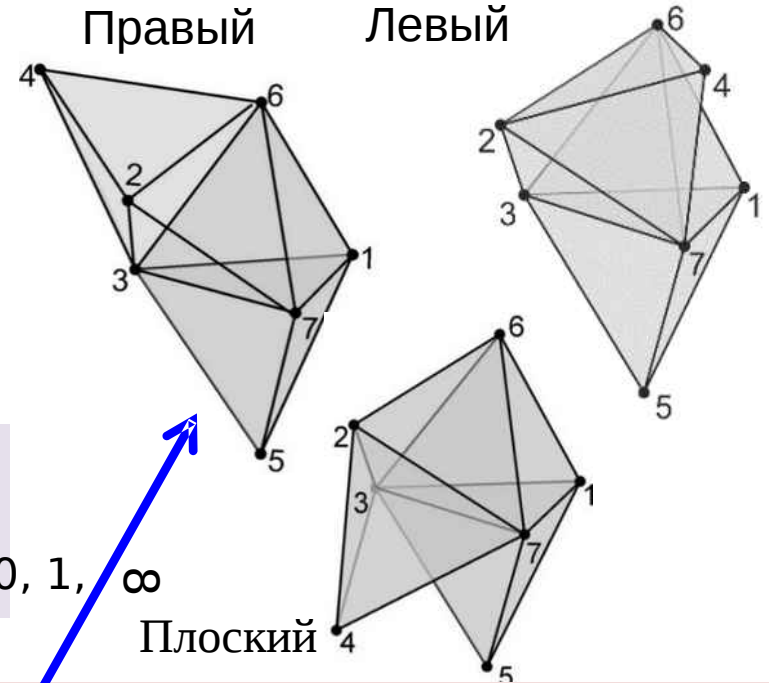
$$7-21+14=0$$



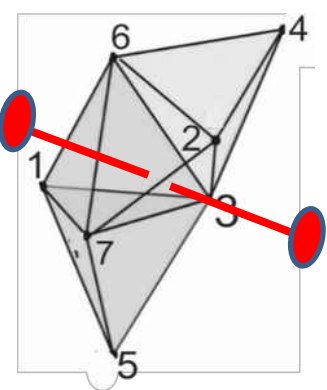
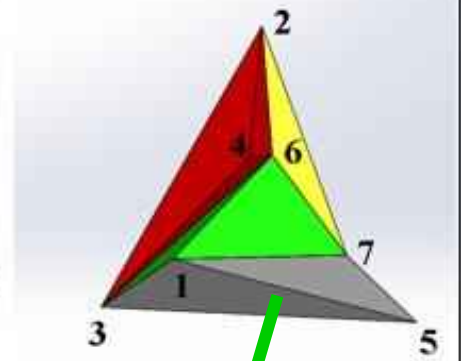
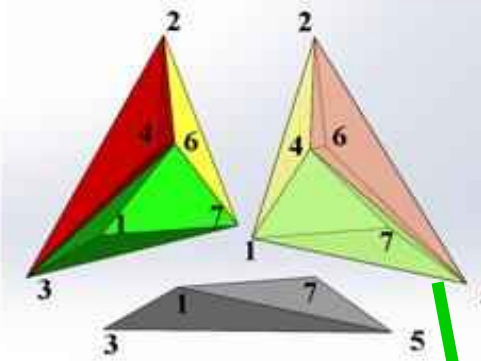
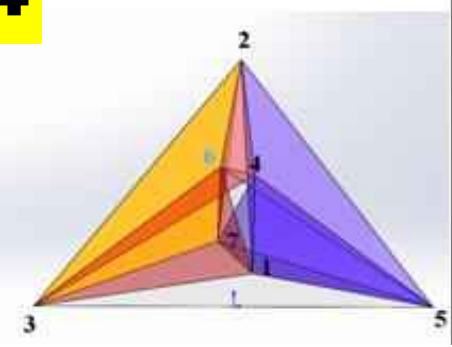


ТИ  $2-(7,3,1)$  определяет конечную проективную геометрию  $PG(2,2)$ . Параллельные прямые  $2,5$ ;  $3,6$ ;  $7,4$  пересекаются в идеальных точках  $0, 1, \infty$

Отбрасывание отмеченных белыми кружками знаков инцидентности определяет подконфигурацию  $PG(2,2)$  и приводит к **переходу** (посредством удаления «ручки» в виде изогнутой трехгранной призмы) **от 7 вершинной регулярной триангуляции тора к 7 вершинной нерегулярной триангуляции сферы 15 ребрами на 10 треугольников**  
 Характеристика Эйлера  $7-15+10=2$

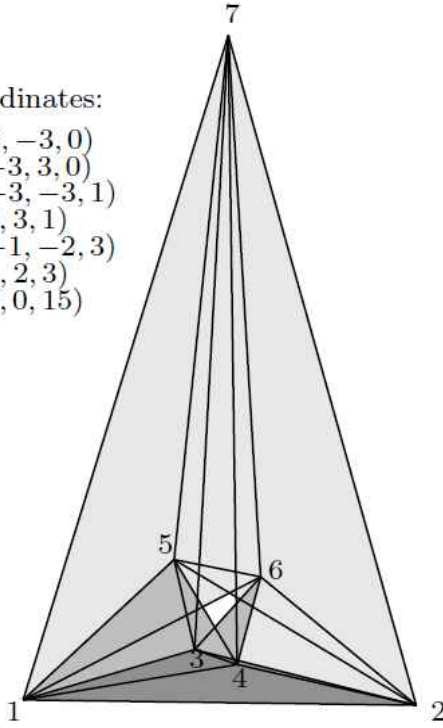


**Тетраблок - базовая структурная единица цепи тетраэдров**, при отображении которой в регулярные тетраэдрические разбиения пространств  $S^3$  ( $H^3$ ) число тетраэдров и вершин максимально возможно, не меняется и имеет максимальную симметрию триангулированной поверхности.



Coordinates:

- 1: (3, -3, 0)
- 2: (-3, 3, 0)
- 3: (-3, -3, 1)
- 4: (3, 3, 1)
- 5: (-1, -2, 3)
- 6: (1, 2, 3)
- 7: (0, 0, 15)



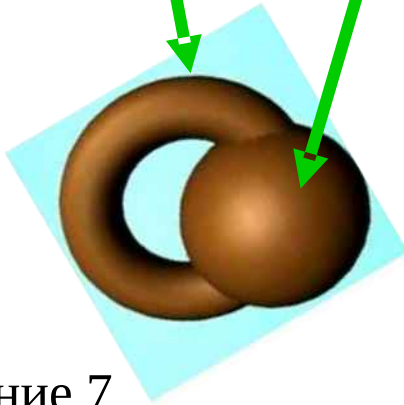
Triangles:

- 123 145 156 345 167 467 247
- 124 236 256 346 257 357 137

Раздельное представление 7 тетраэдров многогранника Часара

Объединение 4 тетраэдров из многогранника Часара, охватывающее все его 7 вершин.

Равнорреберность этого объединения приводит к тетраблоку.



Объединение 7 неравнорреберных тетраэдров в многогранник Часара

При  $k = 3, 4$  и  $5$  биплоскости (из  $v = 1 + k(k-1)/2$  элементов) образуют особую серию с  $v = 4$  (тетраэдр),  $7$  и  $11$

2-(4,3,2)

2-(7,4,2)

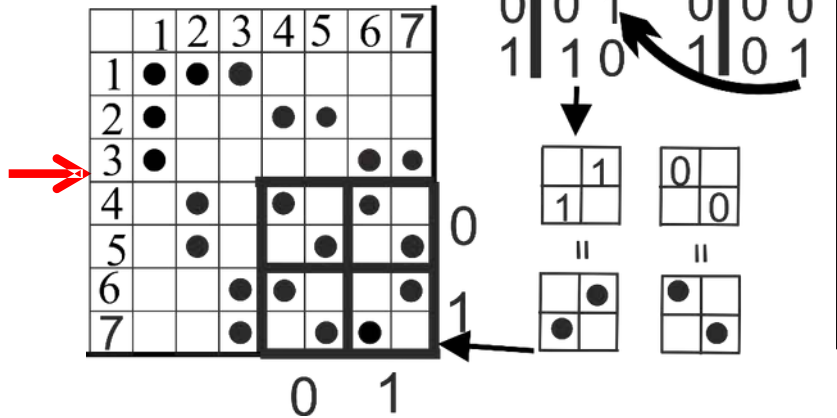
2-(11,5,2)

Тетраэдр соответствует первому члену 2-(4,3,2) этой серии биплоскостей

Таблица инцидентности 2-(7,4,2)

	1	2	3	4	5	6	7
1				•	•	•	•
2		•	•			•	•
3		•	•	•	•		
4	•		•		•		•
5	•		•	•		•	
6	•	•			•	•	
7	•	•	•				•

Таблица инцидентности 2-(7,3,1), комплементарной к 2-(7,4,2)



**Минимальное поле Галуа, порядка  $p=2$ , состоит из 0 и 1. Позволяет построить комбинаторную предгеометрию 2-(7,3,1) из  $p^2+p+1$  точек  $7=2^2+2+1$**

2-(7, 4, 2) и 2-(7,3,1) обладают одной группой автоморфизмов - **проективной специальной линейной группой PSL(2,7) из 168 перестановок 7 чисел**

**Схема 2-(7,3,1) определяет разбиение 7 чисел 1234567 на 7 троек 234, 125, 136, 147, 267, 357, 456. Любая пара чисел только в одной тройке**